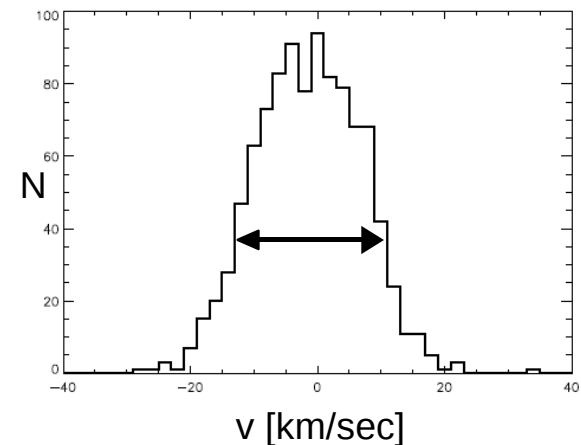
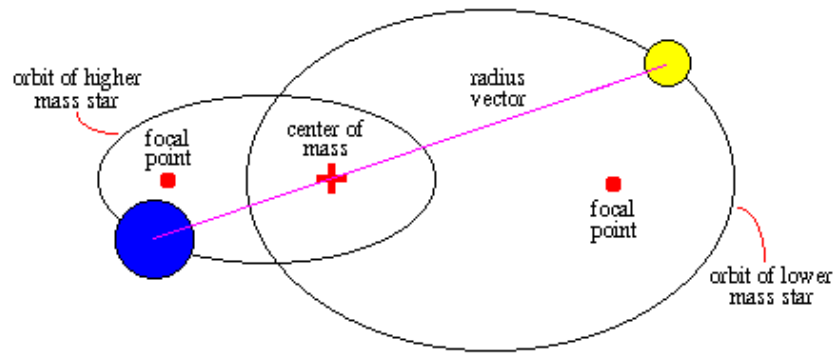
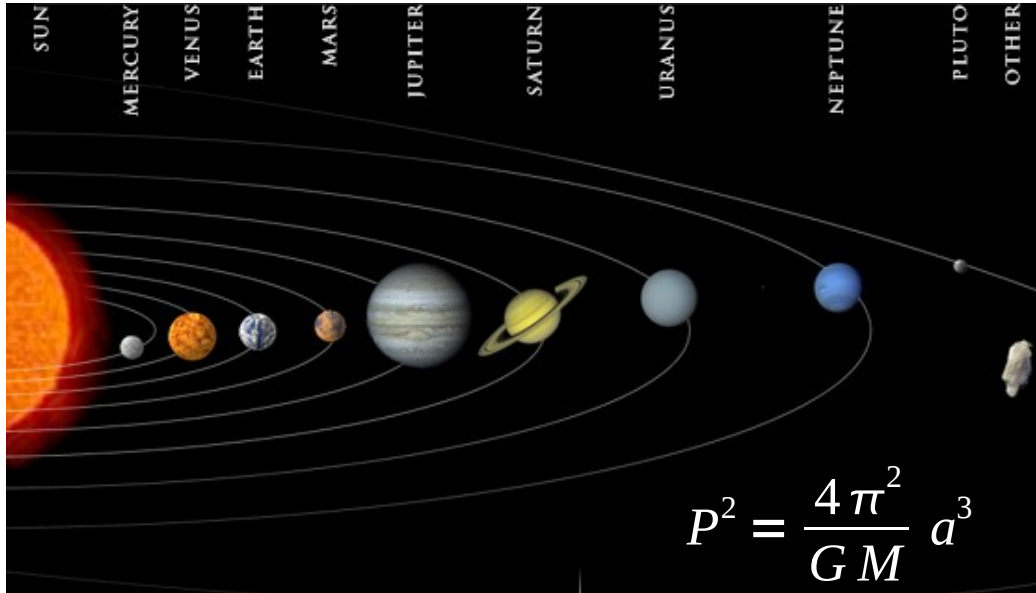
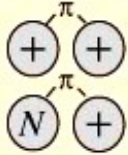
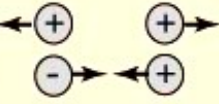
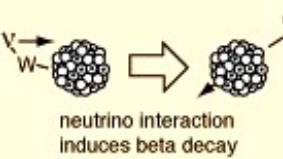
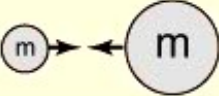


# Physik des Universums

## Kapitel 4: Gravitation – Bewegung – Masse



# Relative Stärke der fundamentalen Kräfte

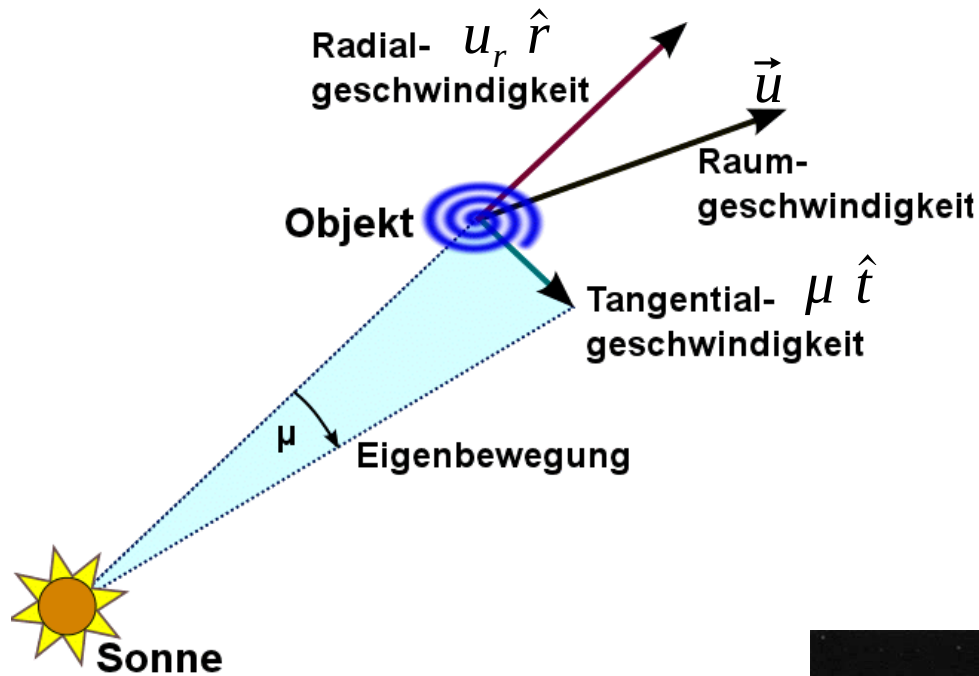
Fundamental Forces				
<b>Strong</b>		Strength <b>1</b>	Range (m) $10^{-15}$ (diameter of a medium sized nucleus)	Particle gluons, $\pi$ (nucleons)
<b>Electro-magnetic</b>		Strength $\frac{1}{137}$	Range (m) Infinite	Particle photon mass = 0 spin = 1
<b>Weak</b>		Strength $10^{-6}$	Range (m) $10^{-18}$ (0.1% of the diameter of a proton)	Particle Intermediate vector bosons $W^+$ , $W^-$ , $Z_0$ , mass > 80 GeV spin = 1
<b>Gravity</b>		Strength $6 \times 10^{-39}$	Range (m) Infinite	Particle graviton ? mass = 0 spin = 2

Kräftevergleich im Wasserstoff-Atom:

$$\frac{F(\text{Coulomb})}{F(\text{Newton})} = \frac{q_e q_p}{4 \pi \epsilon_0 G m_e m_p} = 2.27 \cdot 10^{39}$$

Die Stärke der elektromagnetischen Kraft verhindert die Bildung von starken Ladungen; Dipol- (und höhere Ordnungen) Felder fallen schnell ab:  $F(\text{Dipol}) \propto r^{-3}$

# Messung von Bewegungen



$$\vec{u} = u_r \hat{r} + \mu \hat{t}$$

$$1 \text{ km/sec} \approx 1 \text{ pc/MJ}$$

Messung:

- **Eigenbewegung:** Positionsverschiebung (relativ zum Hintergrund der weit entfernten = praktisch unbewegten Sterne)
- **Radialgeschwindigkeit:** Dopplereffekt

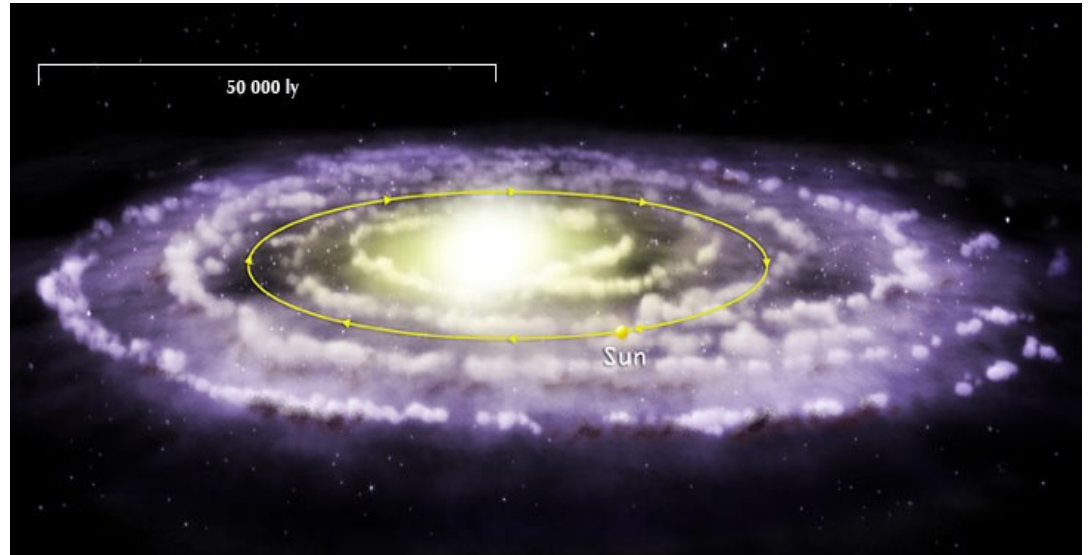


Barnard's Stern:  $\mu = 10.3''/\text{Jahr}$  (90 km/sec)  
 $u_r = -110 \text{ km/sec} \rightarrow u = 142 \text{ km/sec}$

# Typische Geschwindigkeiten in der Galaxis

Erde um Sonne:  $u \approx 30 \text{ km/sec}$

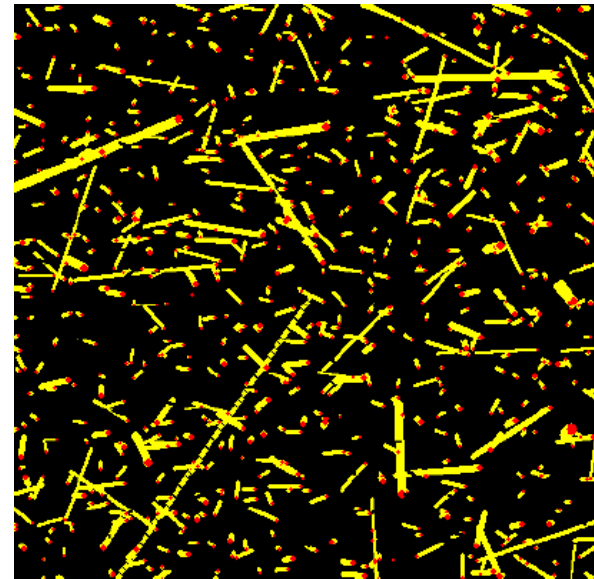
Sonne um galaktisches Zentrum:  
 $u \approx 225 \text{ km/sec}$



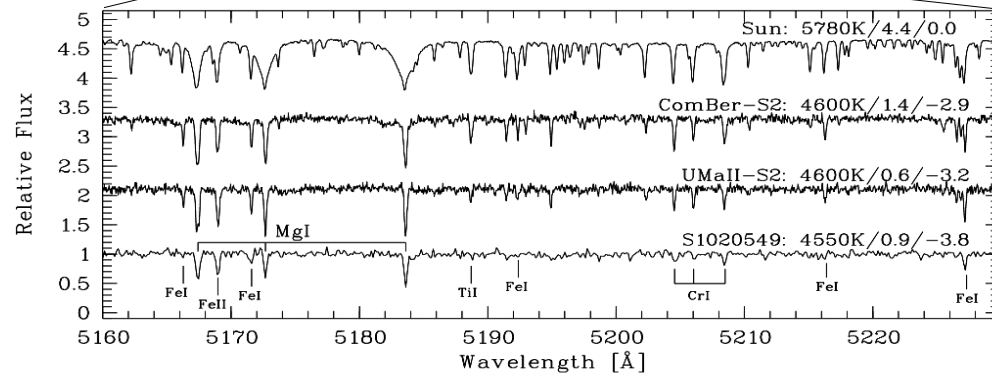
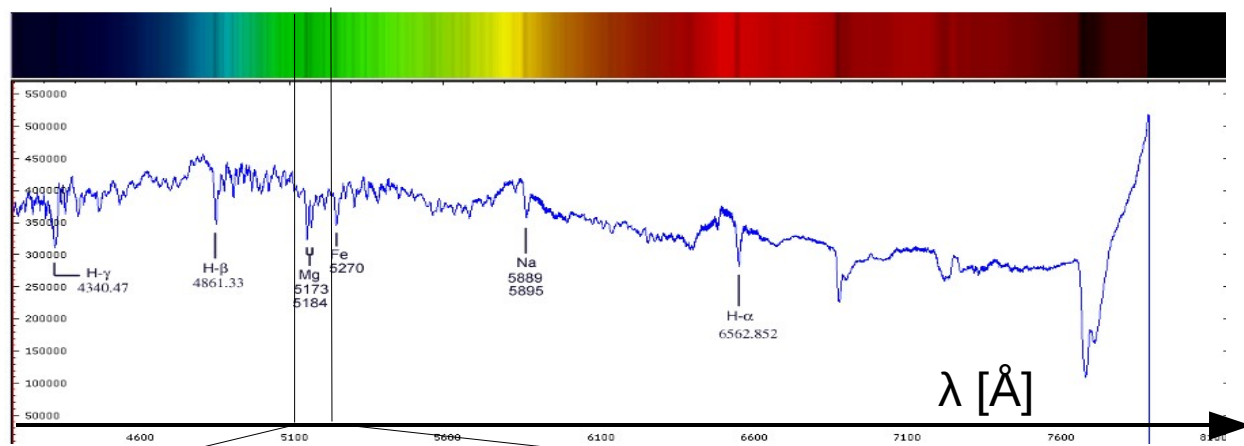
Geschwindigkeitsdispersion der Sterne  
im galaktischen Feld:

typisch: einige km/sec

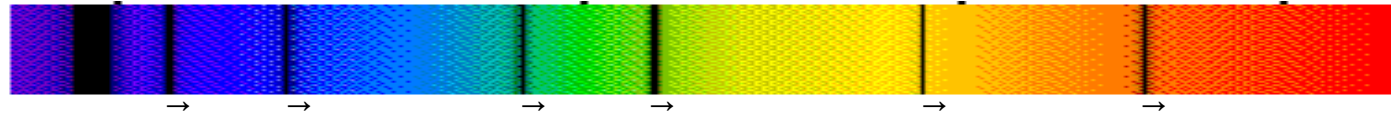
einige Sterne: mehrere 100 km/sec



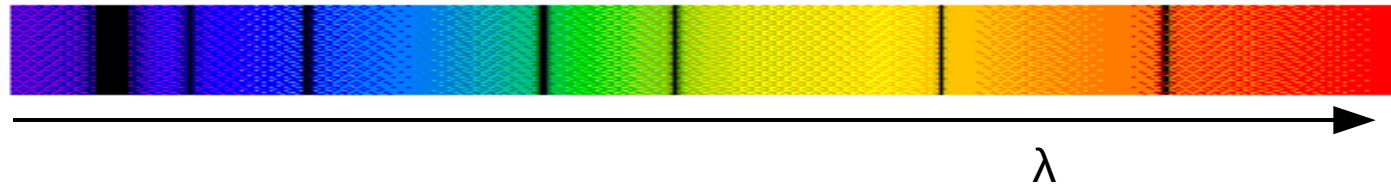
# Messung der Radialgeschwindigkeit über die Linienverschiebung in Sternspektren



Referenzspektrum  
(unbewegt)



Spektrum mit  
Rotverschiebung



Definition der  
Rotverschiebung  $z$  :

$$z := \frac{\Delta \lambda}{\lambda} = \frac{\lambda_{\text{obs}} - \lambda_{\text{em}}}{\lambda_{\text{em}}}$$

$$1 + z = \frac{\lambda_{\text{obs}}}{\lambda_{\text{em}}}$$



# A) Dopplereffekt bei Schallwellen

$$P_{\text{em}} = \frac{1}{f}$$

$$\lambda \cdot f = c_s$$

Fall 1: ruhender Beobachter,  
bewegte Quelle

$c_s$  = Schallgeschwindigkeit

Annäherung:

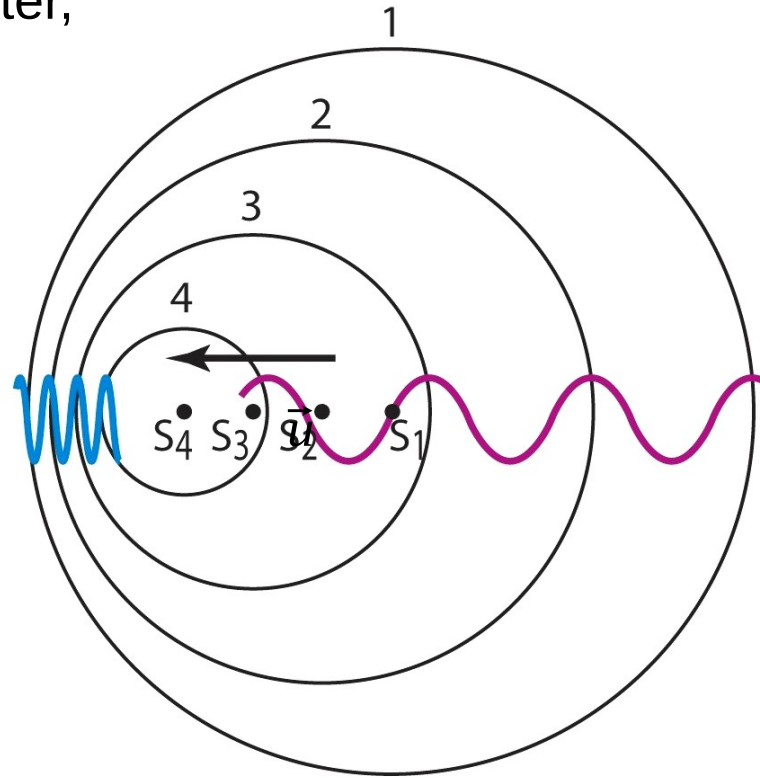
$$u < 0$$

Entfernung:

$$u > 0$$

$$\lambda_{\text{obs}} = \lambda_{\text{em}} \left( 1 - \frac{|u|}{c_s} \right)$$

$$\lambda_{\text{obs}} = \lambda_{\text{em}} \left( 1 + \frac{|u|}{c_s} \right)$$



Während einer Periode entfernt sich die Quelle um  
(näher)

$$\Delta r = P_{\text{em}} \cdot u$$

und hat somit eine zusätzliche Laufzeit zum Beobachter von  
(geringere)

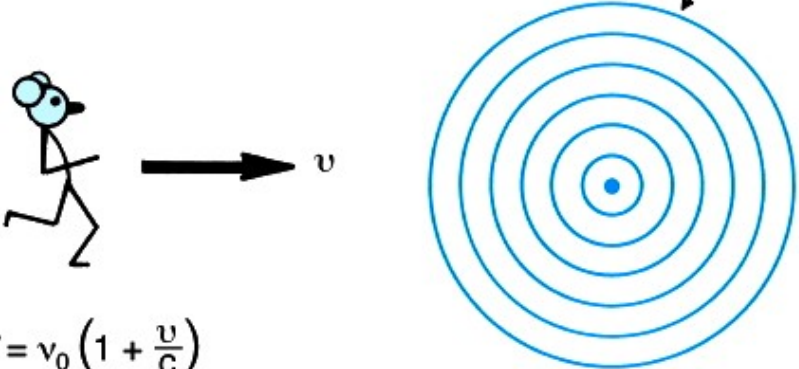
$$\Delta t = \frac{\Delta r}{c}$$

Vom Beobachter  
wahrgenommene Wellenperiode:

$$P_{\text{obs}} = P_{\text{em}} + \Delta t = P_{\text{em}} + \frac{P_{\text{em}} u}{c} = P_{\text{em}} \left( 1 + \frac{u}{c} \right)$$

## Fall 2: ruhende Quelle, bewegter Beobachter

a



Wellenflächen

Im Medium ruhende Quelle  
Bewegte Beobachter

$v'' = v_0 \left(1 + \frac{v}{c}\right)$

$\lambda_{\text{obs}} = \lambda_{\text{em}} \left(1 + \frac{|u|}{c_s}\right)^{-1}$

$v' = v_0 \left(1 - \frac{v}{c}\right)$

$\lambda_{\text{obs}} = \lambda_{\text{em}} \left(1 - \frac{|u|}{c_s}\right)^{-1}$

### Asymmetrie:

- Schallquelle bewegt sich auf ruhenden Beobachter mit  $u = -c$  zu:

$$\lambda_{\text{obs}} = \lambda_{\text{em}} \left(1 - \frac{|u|}{c_s}\right) \rightarrow 0 \quad \rightarrow \text{Schockwelle, Überschallknall}$$

- Beobachter bewegt sich mit  $u = -c$  auf Quelle zu:

$$\lambda_{\text{obs}} = \lambda_{\text{em}} \left(1 + \frac{|u|}{c_s}\right)^{-1} = \lambda_{\text{em}}/2 \quad \rightarrow \text{Frequenzverdoppelung}$$

## B) Dopplereffekt bei elektromagnetischen Wellen

Zusätzlich zum Effekt der wachsenden Distanz bei Entfernung kommt die relativistische Zeitdilatation ( $\gamma$ )

$$\gamma = \frac{1}{\sqrt{1 - u^2/c^2}}$$

$$\frac{\lambda_{\text{obs}}}{\lambda_{\text{em}}} = \left(1 + \frac{u}{c}\right) \gamma = \frac{1 + u/c}{\sqrt{1 - u^2/c^2}} = \sqrt{\frac{1 + u/c}{1 - u/c}}$$

Zusammenhang mit  
Rotverschiebung  $z$  im  
Grenzfall für kleine  
Geschwindigkeiten:

$$1 + z = \frac{\lambda_{\text{obs}}}{\lambda_{\text{em}}} \rightarrow \simeq 1 + \frac{u}{c} \quad \text{für } u \ll c$$

$$z = \frac{\Delta \lambda}{\lambda} = \frac{\lambda_{\text{obs}} - \lambda_{\text{em}}}{\lambda_{\text{em}}} \rightarrow \simeq \frac{u}{c} \quad \text{für } u \ll c$$

Berechnung der Radialgeschwindigkeit aus der Rotverschiebung:

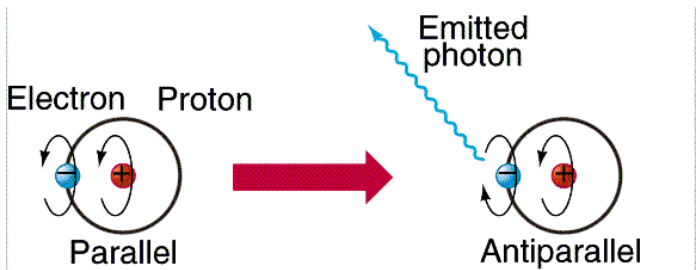
$$\frac{u(z)}{c} = \frac{2z + z^2}{2 + 2z + z^2} \simeq z - \frac{z^2}{2} + \frac{z^4}{4} - \dots \quad \rightarrow \quad u \simeq c z \quad \text{für } z \ll 1$$



# Anwendungsbeispiel: Rotation von Galaxien

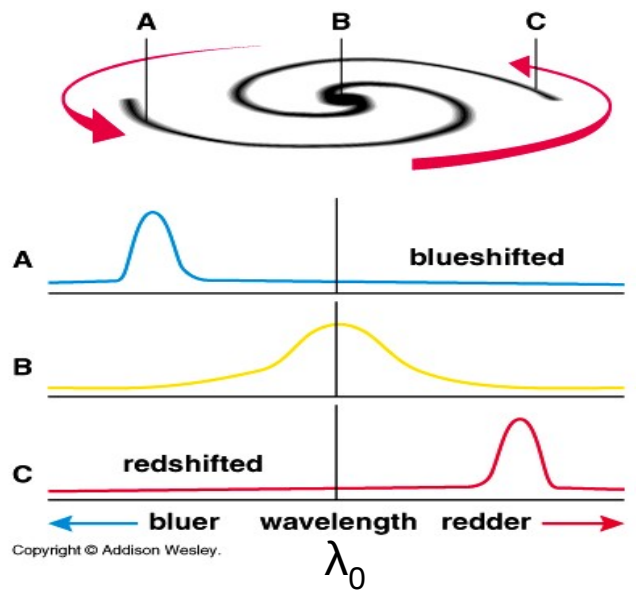
21 cm Line von Wasserstoff:

$$\Delta E = 5.9 \cdot 10^{-6} \text{ eV}$$



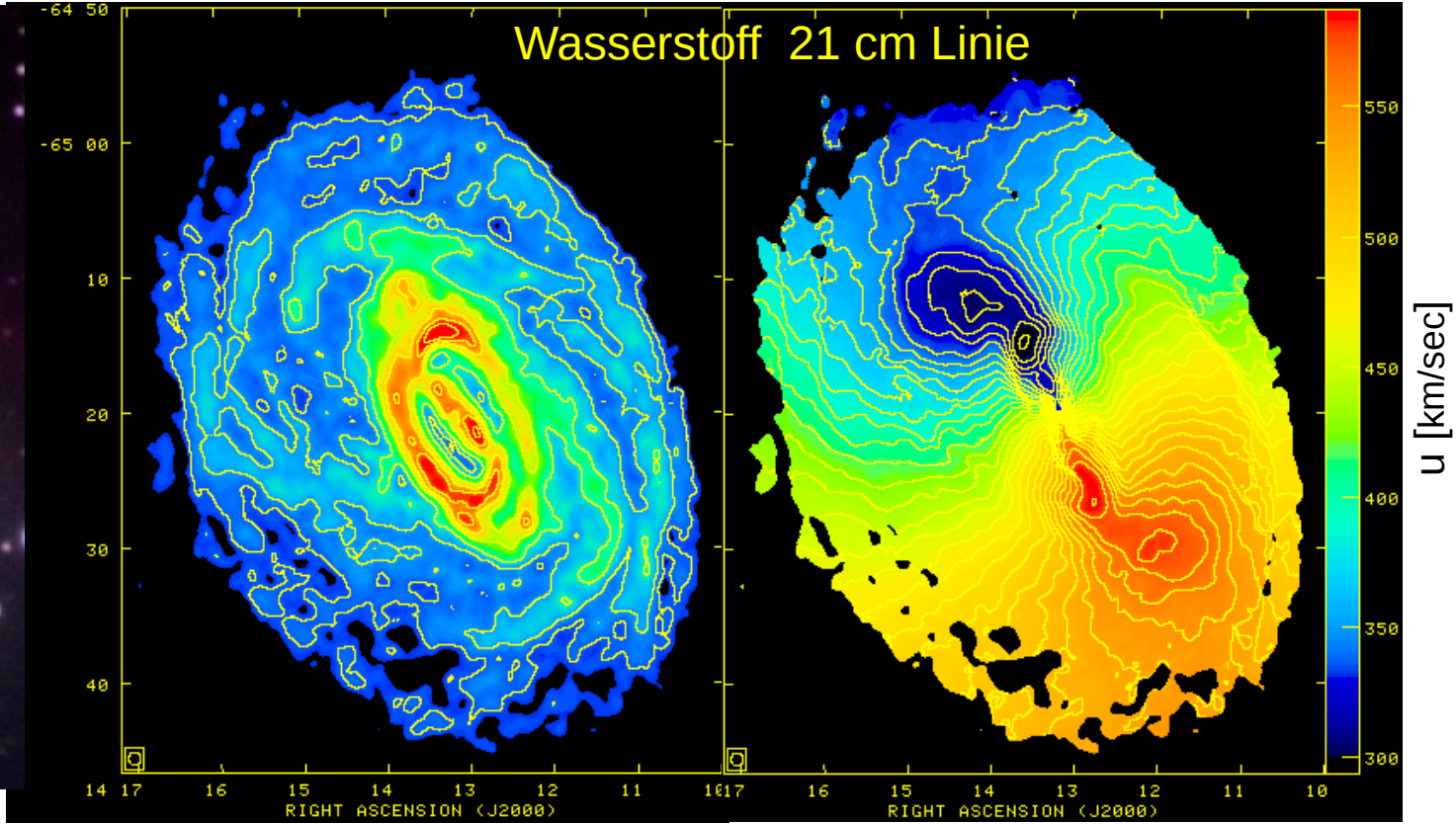
$$\nu_0 = 1420.4057517667 \text{ MHz}$$

$$\lambda_0 = 21.1061140542 \text{ cm}$$



optisch

Circinus Galaxy



Intensität

Wellenlängenverschiebung

# Das Zwei-Körper Problem

Schwerpunkt  $\vec{R} = \frac{m_1 \vec{r}_1 + m_2 \vec{r}_2}{m_1 + m_2} := 0 \quad m_1 r_1 = m_2 r_2$

- Grenzfall:

Für  $m_2 \gg m_1$ :  $r_2 \rightarrow r$ ,  $r_1 \rightarrow 0$

Teilchen der Masse  $m_1$  bewegt sich um (nahezu) ortsfesten Körper mit Masse  $m_2$

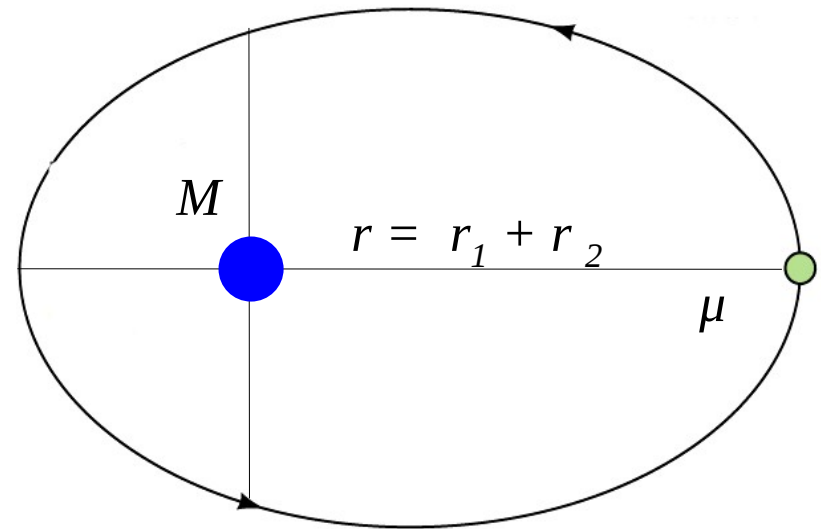
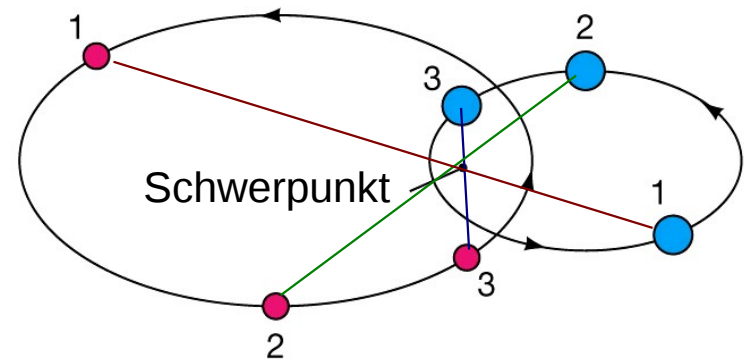
- Allgemein: Für beliebige Massen  $m_1, m_2$  gilt:

Bewegung eines 2-Körper Systems ohne äußere Kraft lässt sich auf das äquivalente Ein-Körperproblem reduzieren:

Teilchen mit **reduzierter Masse**  $\mu = \frac{m_1 \cdot m_2}{m_1 + m_2}$

bewegt sich im relativen Abstand  $r = r_1 + r_2$

um **festen Schwerpunkt** der Masse  $M = m_1 + m_2$



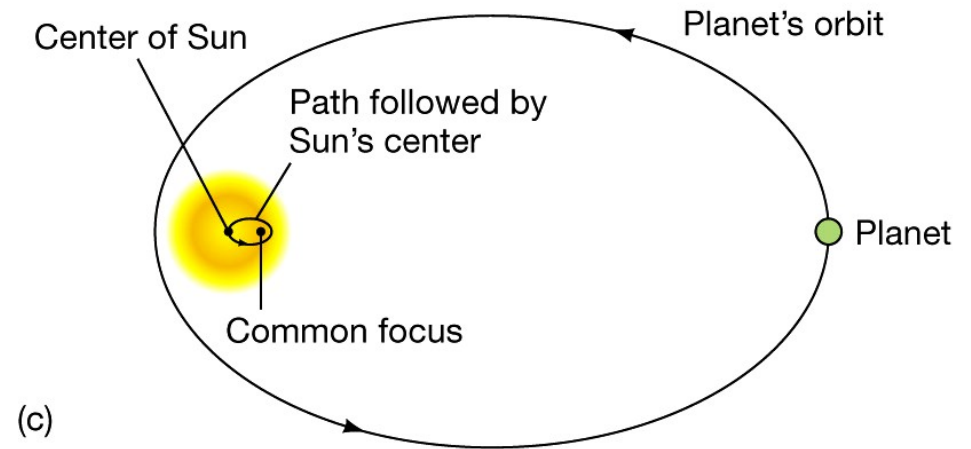
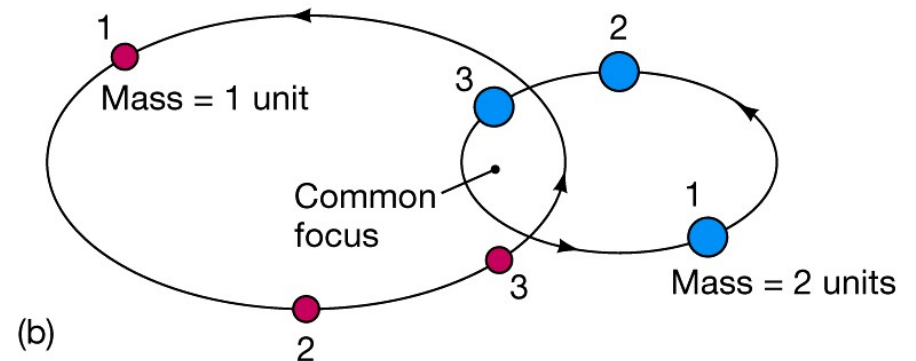
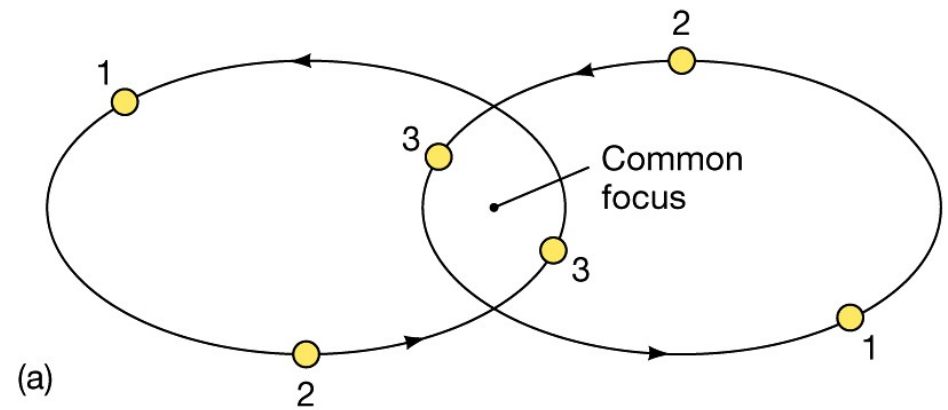
$$\frac{1}{\mu} = \frac{1}{m_1} + \frac{1}{m_2}$$

$$\mu \cdot M = m_1 \cdot m_2$$

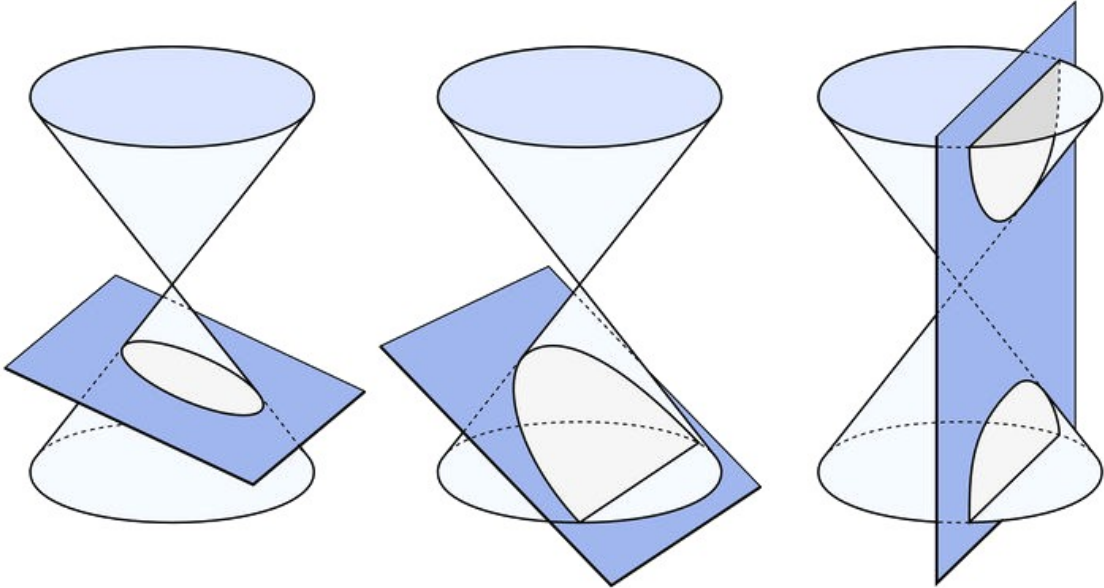
$$m_1 a_1 = m_2 a_2 \qquad \frac{a_1}{a_2} = \frac{m_2}{m_1}$$

Sonne – Jupiter:  $a_2 = 5.2 \text{ AU}$ ,  
 $M_{\odot} = 1048 M_{\text{Jupiter}}$   
 $a_1 = 742\,290 \text{ km} = 1.0665 R_{\odot}$

Sonne – Erde:  $a_2 = 1 \text{ AU}$ ,  
 $M_{\odot} = 332\,981 M_{\text{Erde}}$   
 $a_1 = 449 \text{ km} = 0.00065 R_{\odot}$



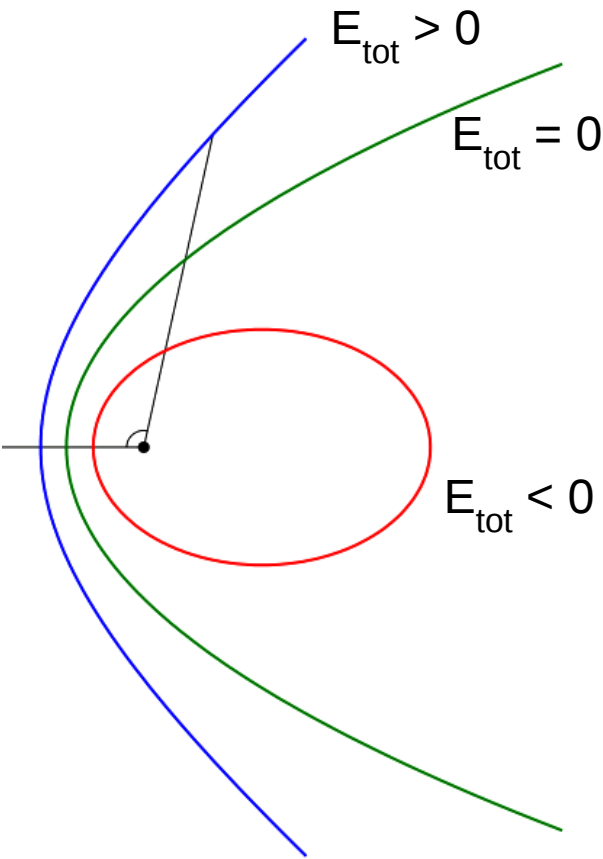
Bahnformen = Kegelschnitte



Ellipse  
 $E < 0$

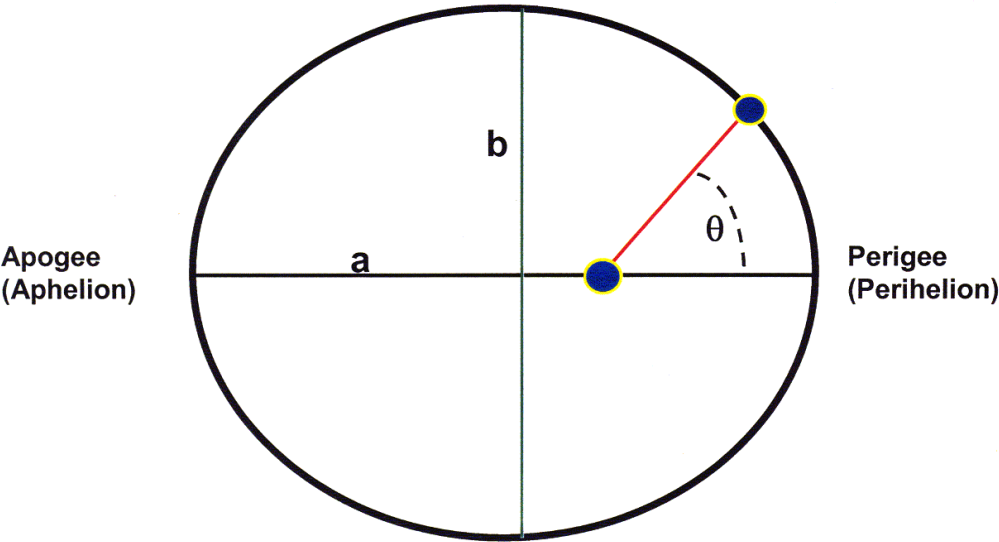
Parabel  
 $E = 0$

Hyperbel  
 $E > 0$



Ellipse:

- a: große Halbachse
- b: kleine Halbachse



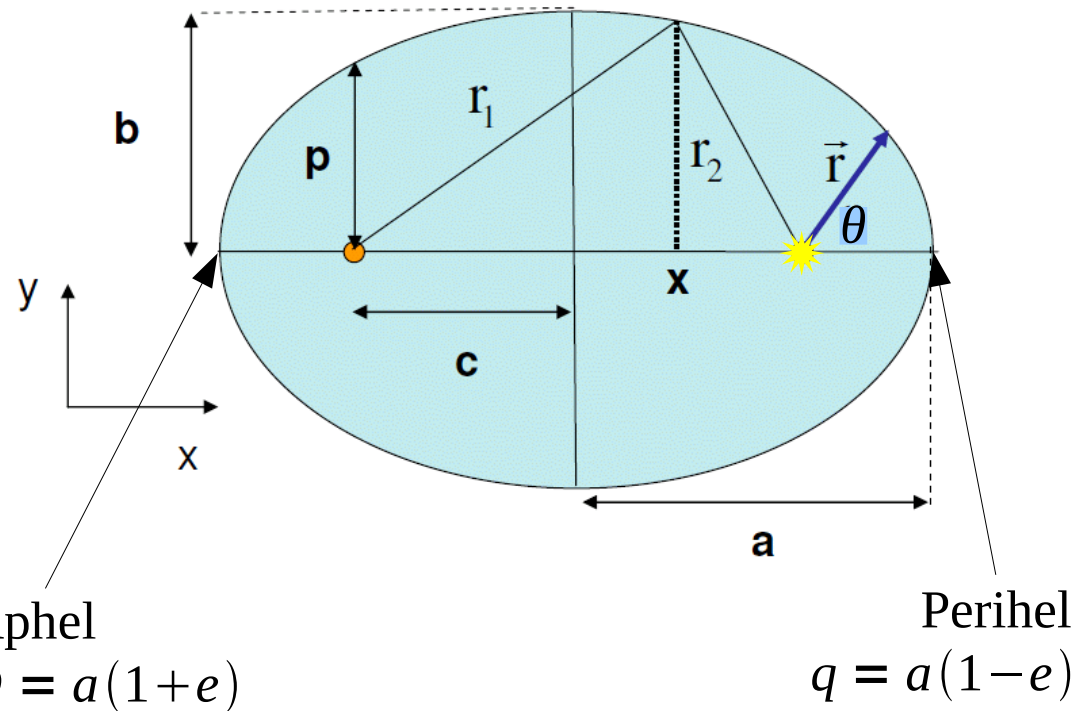
# 1. Kepler Gesetz: Planetenbahnen sind Ellipsen; Sonne im Fokuspunkt

Definition der Ellipse:

$$r_1 + r_2 = 2 \cdot a \quad \frac{x^2}{a^2} + \frac{y^2}{b^2} = 1$$

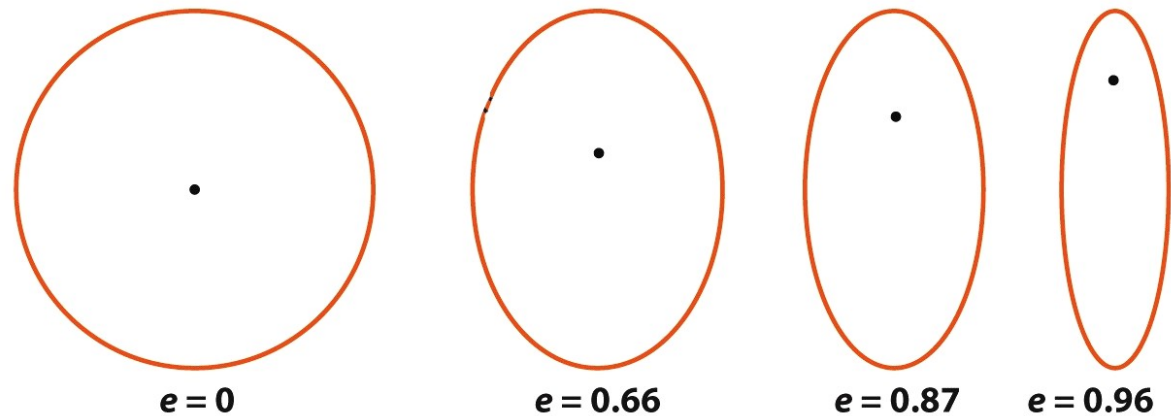
$$c = a \cdot e = \sqrt{a^2 - b^2}$$

$$r = \frac{a(1 - e^2)}{1 + e \cos \theta}$$



Exzentrizität  $e$

Merkur	$e = 0.206$
Venus	$e = 0.0068$
Erde	$e = 0.0167$
Mars	$e = 0.0934$
Jupiter	$e = 0.0485$
Saturn	$e = 0.0556$
Uranus	$e = 0.0472$
Neptun	$e = 0.001$
Pluto	$e = 0.25$





## 2. Kepler Gesetz: In gleichen Zeiten überstreicht der Fahrstrahl gleiche Flächen

$$\frac{dA}{dt} = \frac{1}{2} r^2 \frac{d\theta}{dt}$$

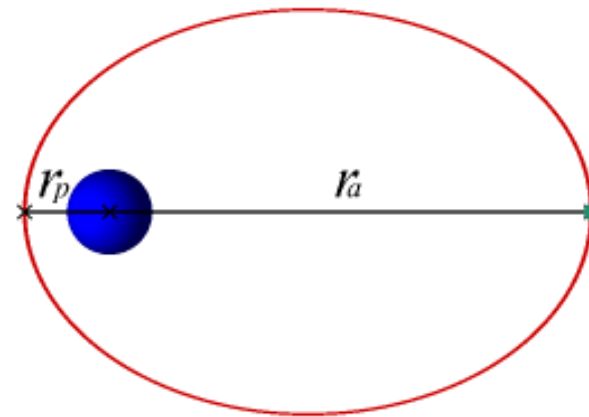
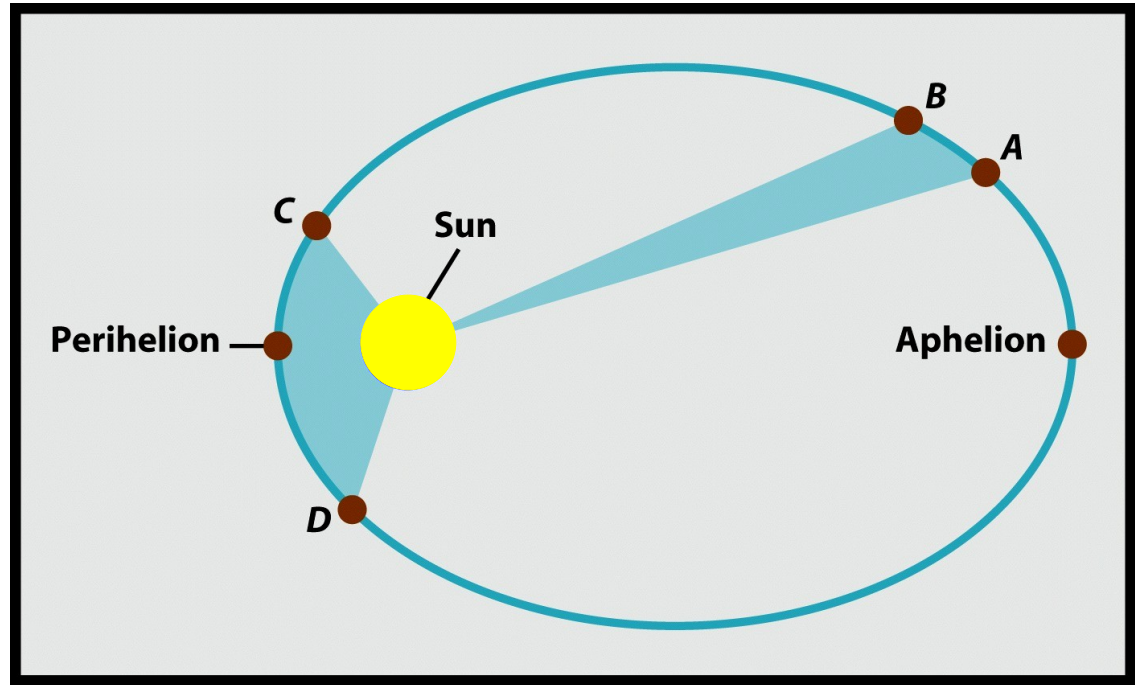
$$L = \mu \vec{r} \times \frac{d\vec{r}}{dt} = \mu r^2 \frac{d\theta}{dt}$$

↓

$$\frac{d\theta}{dt} = \frac{L}{\mu r^2}$$

$$\boxed{\frac{dA}{dt} = \frac{1}{2} \frac{L}{\mu} = \text{const.}}$$

Drehimpulserhaltung





## Einschub: Langfristige Variationen des Erdborbits und ihre Konsequenzen

Momentane Bahnparameter:  $e = 0.0167$

Perihel (2016: 2. Januar, 22:49 UTC):

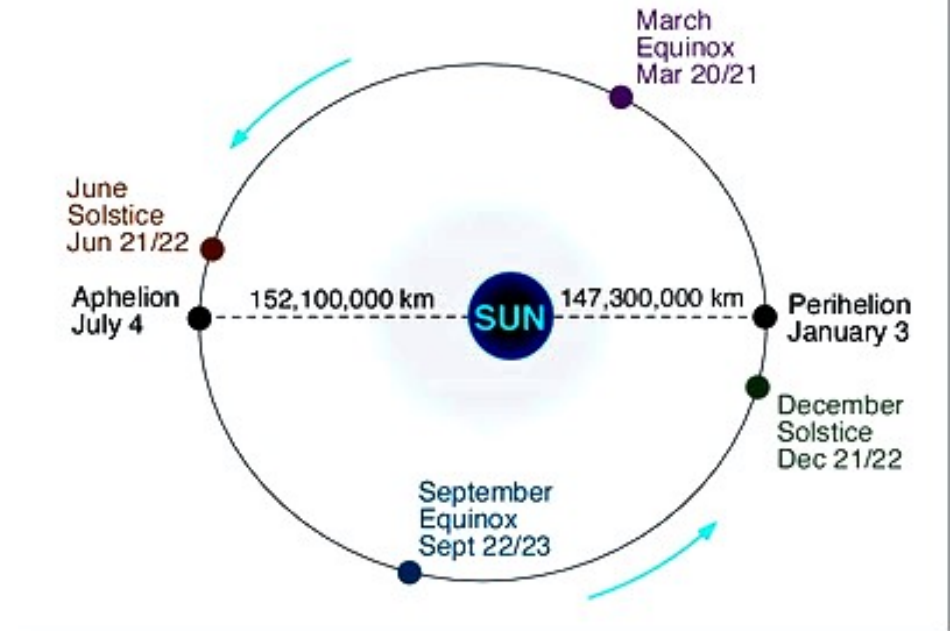
147 100 176 km

Aphel (2016: 4. Juli, 16:24 UTC):

152 103 775 km

→  $\Delta a / a = 3.4\%$ ,

solare Bestrahlungsstärke variiert um 6.9%



Gravitative Wechselwirkung mit anderen Planeten und Mond führt zu ***Orbitvariationen*** und ***Präzession der Erdachse***

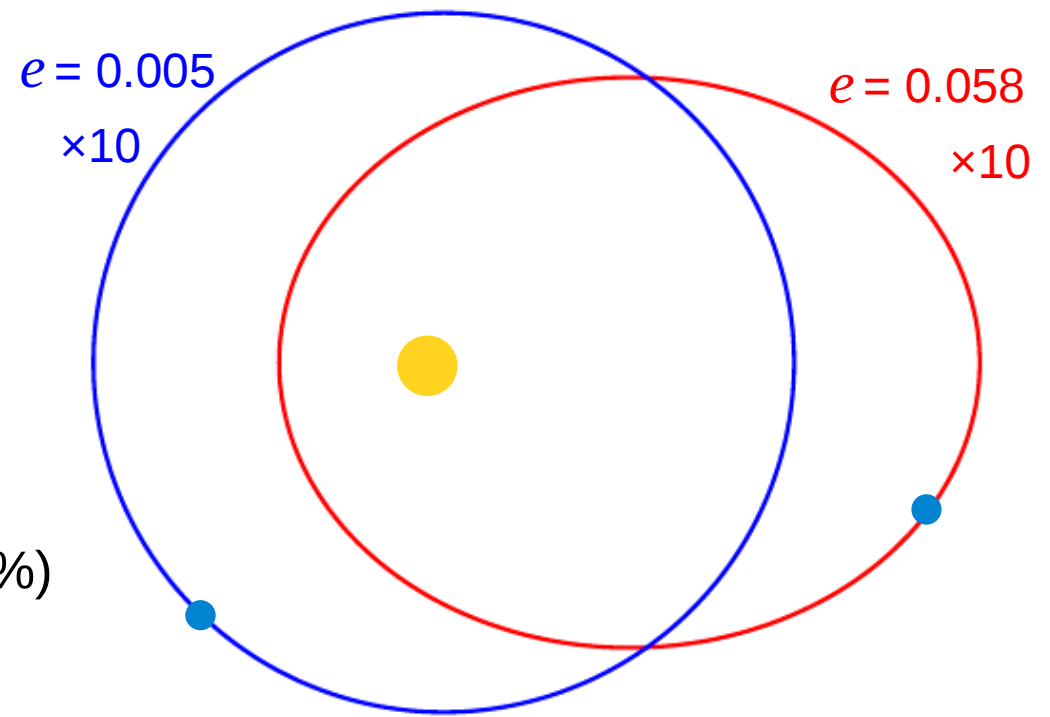


## a) Änderung der Exzentrizität

$$e_{\min} = 0.005 \quad , \quad e_{\max} = 0.058$$

Periode:  $\sim 100\,000$  Jahre

→ Jährliche relative Variation der solaren Bestrahlungsstärke (heute 6.9%) schwankt zwischen 1.4% und 25%.



Beeinflusst auch die gesamte jährliche Sonneneinstrahlung:

$$\langle E \rangle = \int_{\text{Jahr}} S_{\odot} dt \propto \frac{1}{\sqrt{1-e^2}}$$

$$\langle E \rangle (e=e_{\min}) = 1.0000125 \langle E \rangle (e=0)$$

$$\langle E \rangle (e=e_{\max}) = 1.001674 \langle E \rangle (e=0)$$

# Präzession der Erdachse

## b) Präzession verschiebt Datum von Perihel und Aphel

(Periode ~ 18 000 bis 23 000 Jahre)

2016: Perihel am 2. Januar,

Aphel am 4. Juli

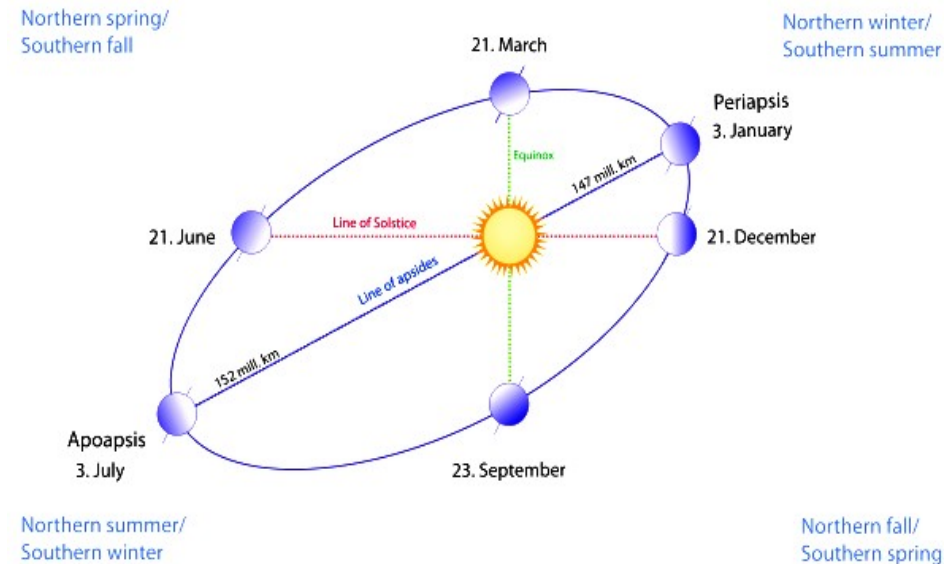
In ~ 11 000 Jahren: Perihel ~ 4. Juli,

Aphel ~ 2. Januar

→ Sommer auf Nordhalbkugel wärmer,  
Winter auf Nordhalbkugel kälter

= „Climatic Precession“

Northern spring/  
Southern fall

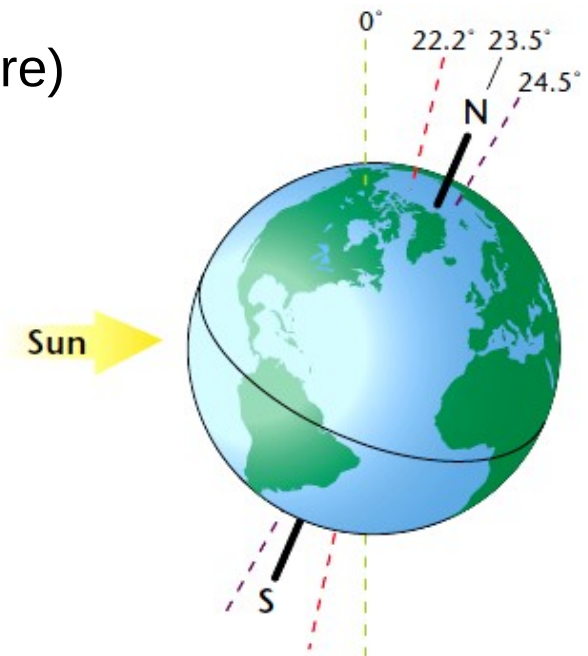


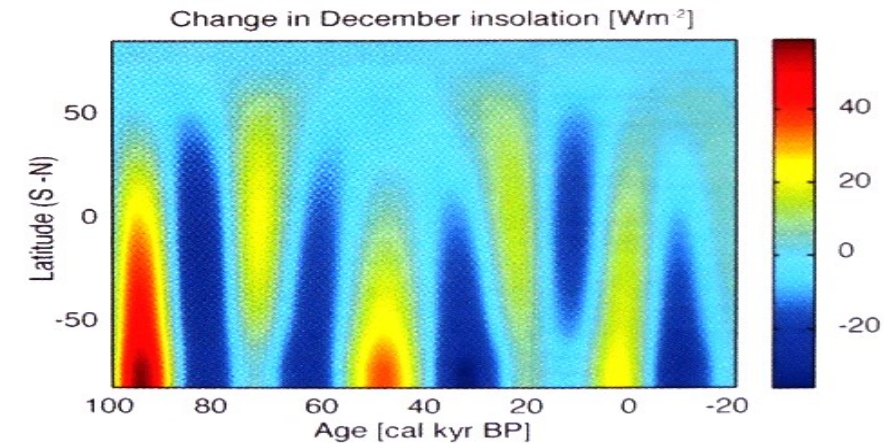
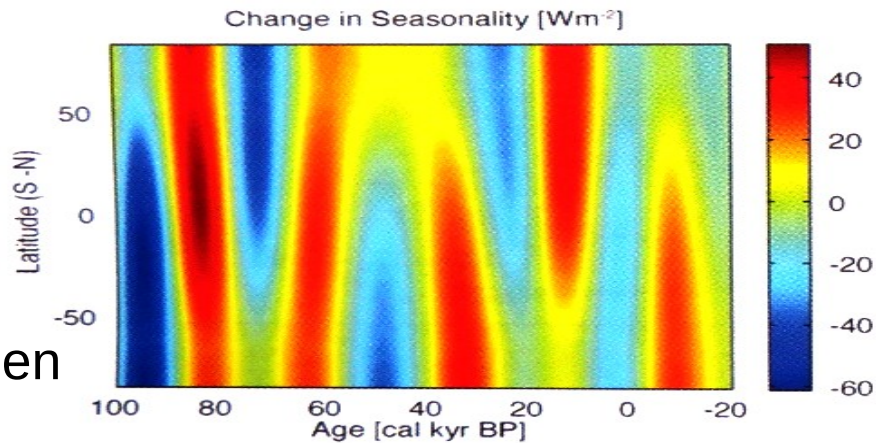
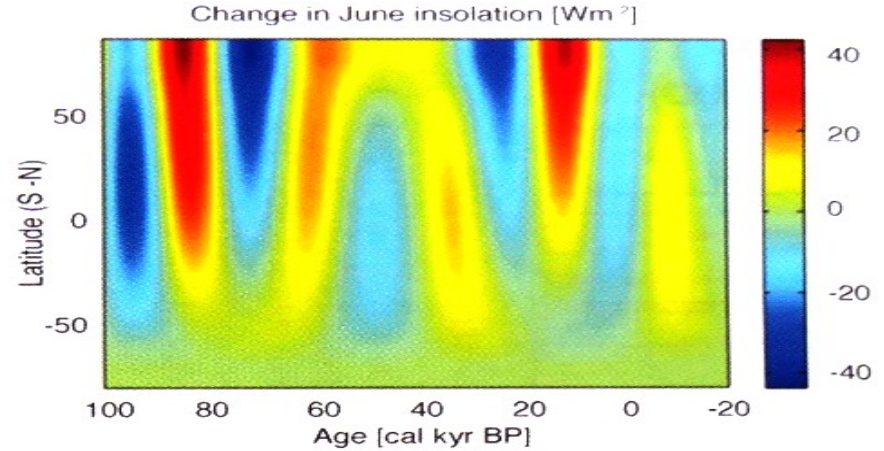
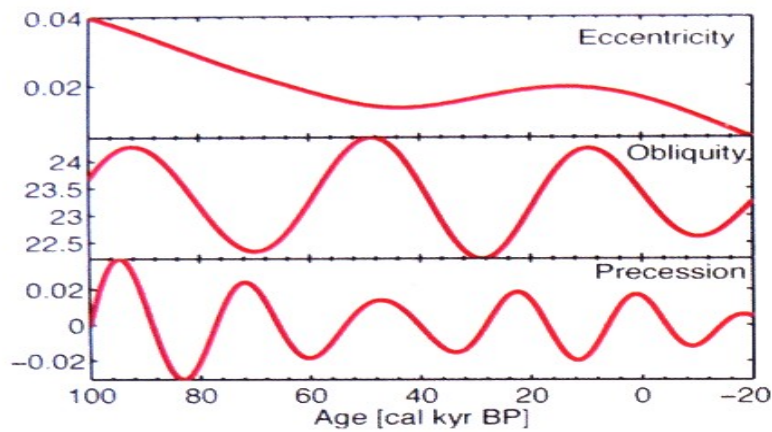
## c) Änderung des Präzessions-Winkels ( $P \sim 41\,000$ Jahre)

Zwischen maximal  $24.5^\circ$  und minimal  $22.1^\circ$

Momentan:  $23.5^\circ$ , Änderung:  $-0.47''$  / Jahr

*Je größer der Präzessions-Winkel, desto stärker ist der Kontrast zwischen Sommer und Winter.*





Kombination  
der Variationen  
von

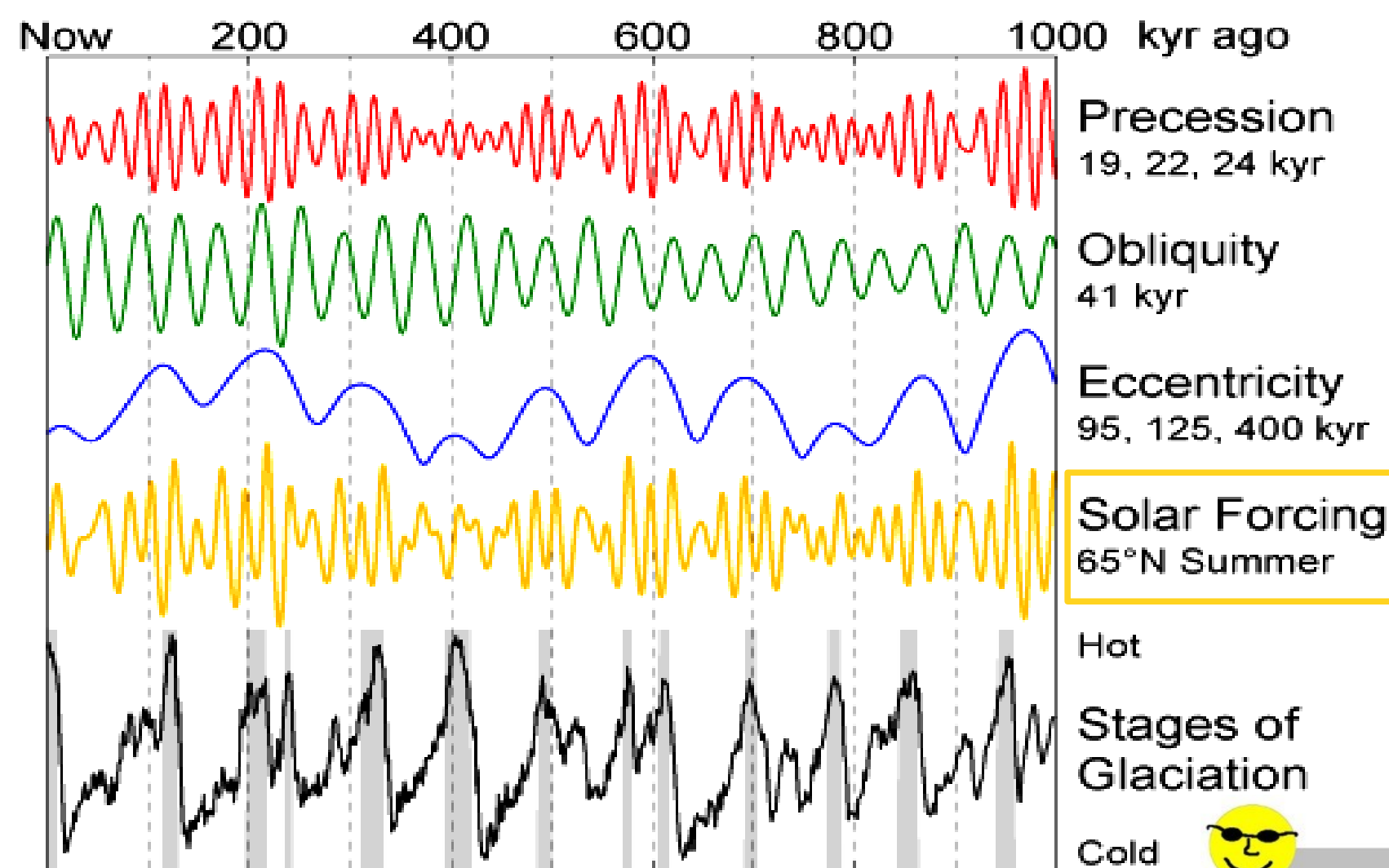
- Exzentrizität (P ~100 000 a) - Präzessionswinkel (P ~41 000 a) - Perihel Datum (P ~21 000 a)  
bildet die ***Milankovitch Zyklen***

und führt zu Änderung der

- **gesamten jährlichen solaren Einstrahlung** (% -Bereich)
- **jahreszeitlichen Verteilung** der solaren Einstrahlung (% -Bereich)

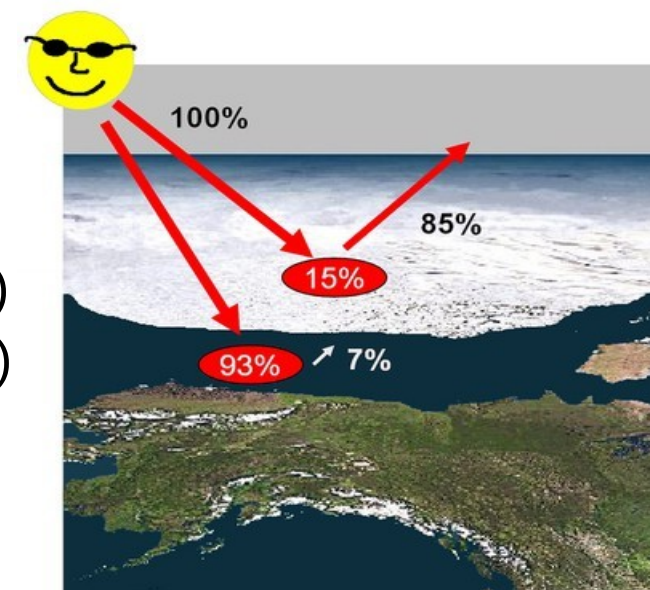
auf die Erde.



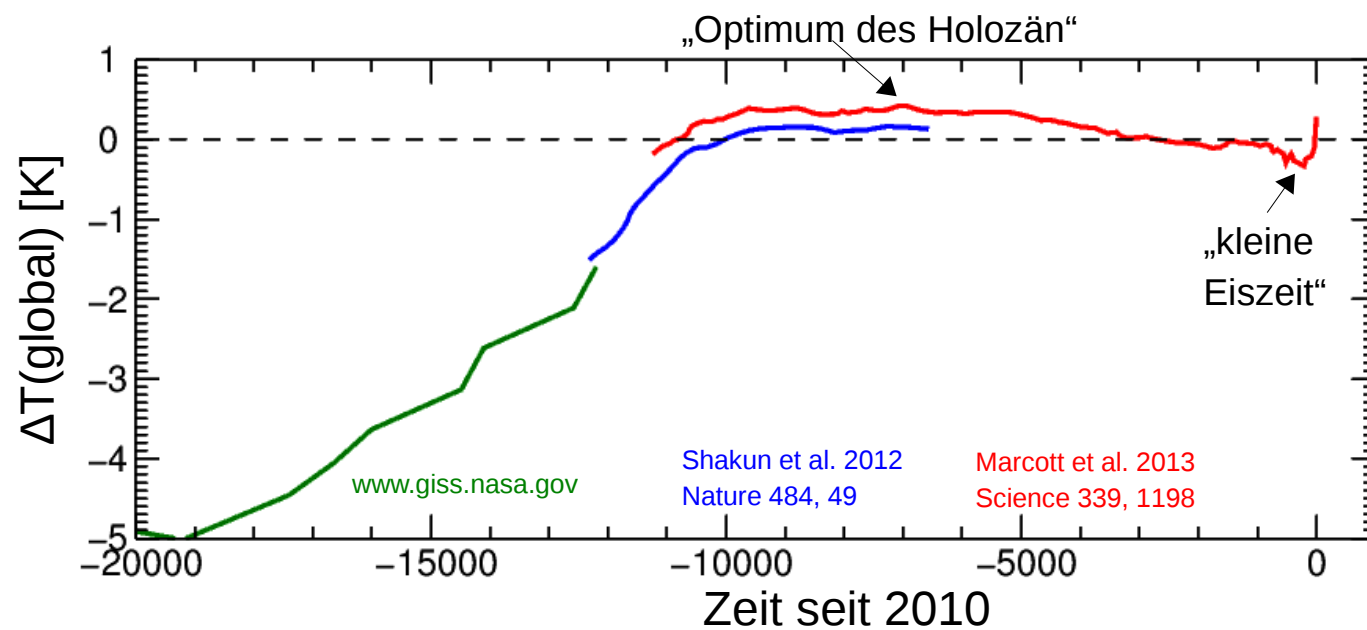


Bei der momentanen kontinentalen Konfiguration der Erde ist die Einstrahlung bei hohen nördlichen Breiten ( $\sim 65^\circ$  Nord) der entscheidende Trigger für die Eiszeitzyklen ( $\sim 100\,000$  a)

Verstärkung. z.B. durch Eis-Albedo Feedback:

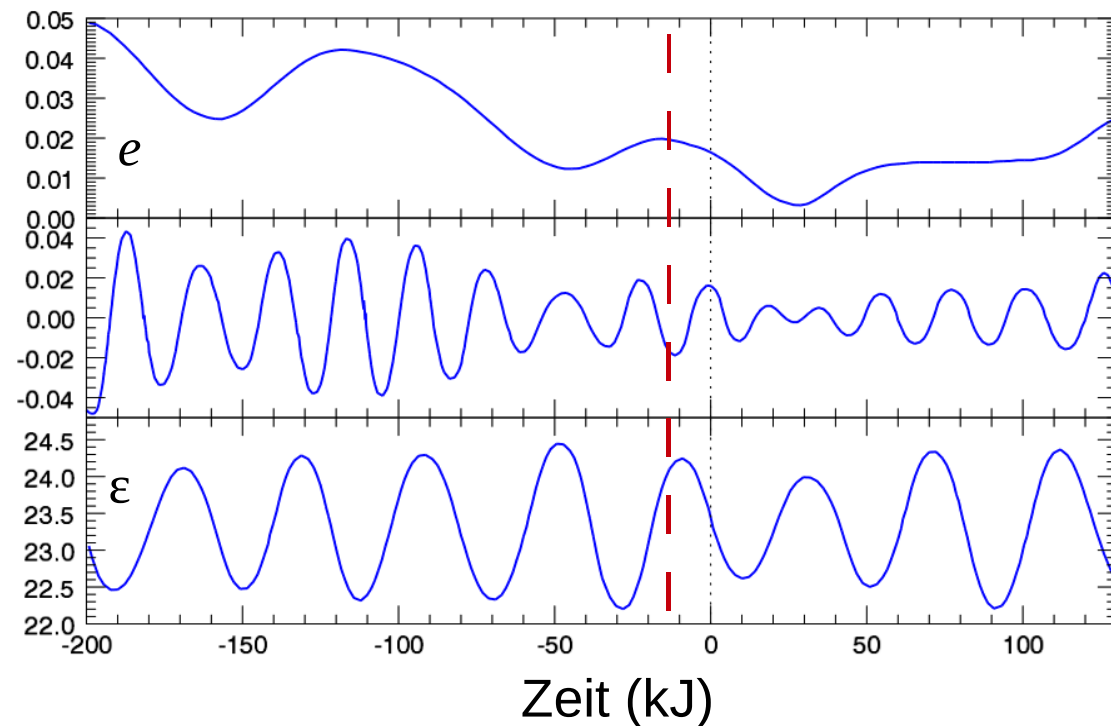


Erklärung für  
das Ende der  
letzten Kaltzeit  
(„Eiszeit“)



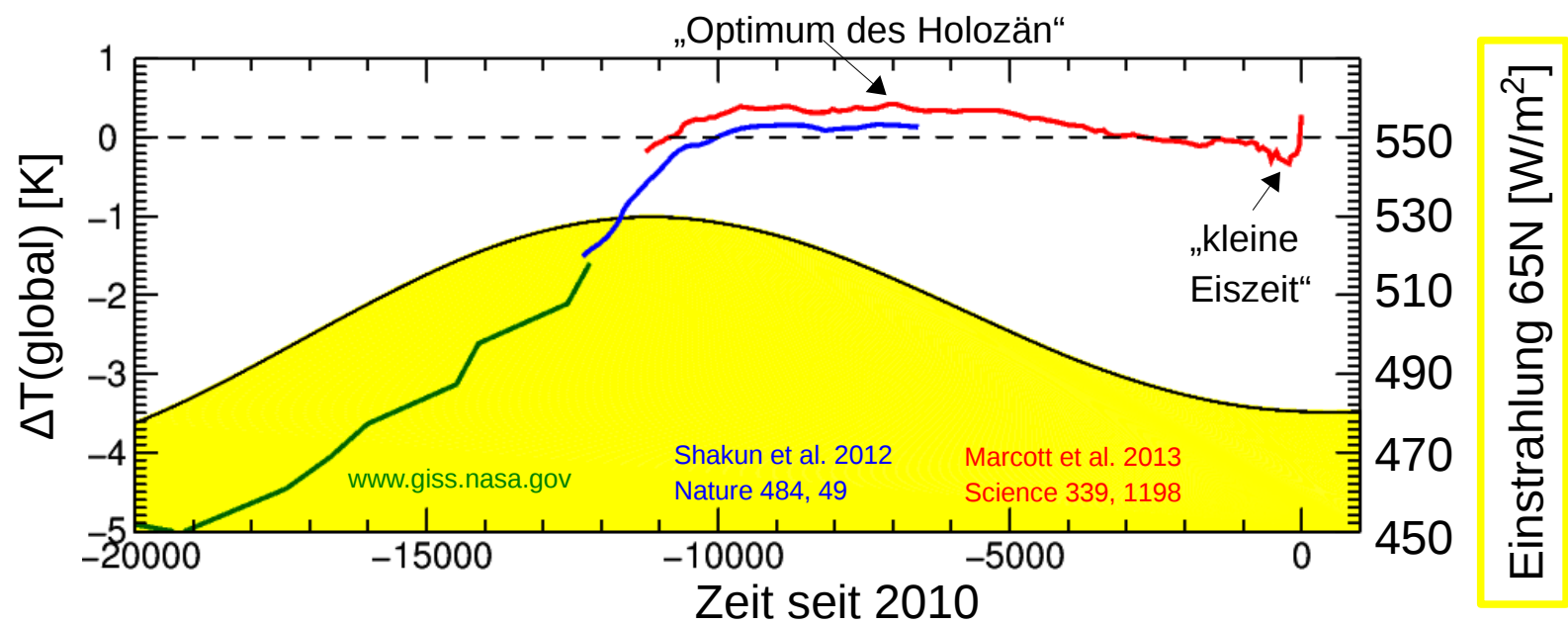
Vor ~ 12 000 Jahren war:

- *Exzentrizität größer*
- → mehr Sonneneinstrahlung
- *Perihel im Nordsommer*
- wärmere Sommer im Norden
- *Achsenneigung größer*
- stärkerer jahreszeitlicher Kontrast



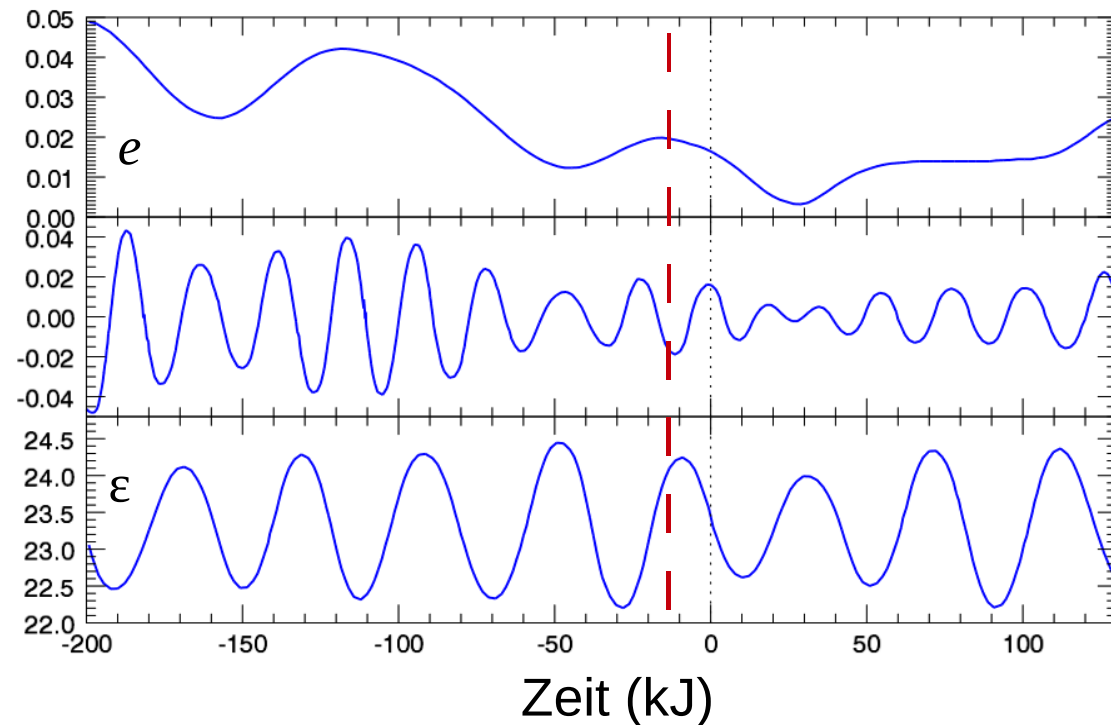


Erklärung für  
das Ende der  
letzten Kaltzeit  
(„Eiszeit“)

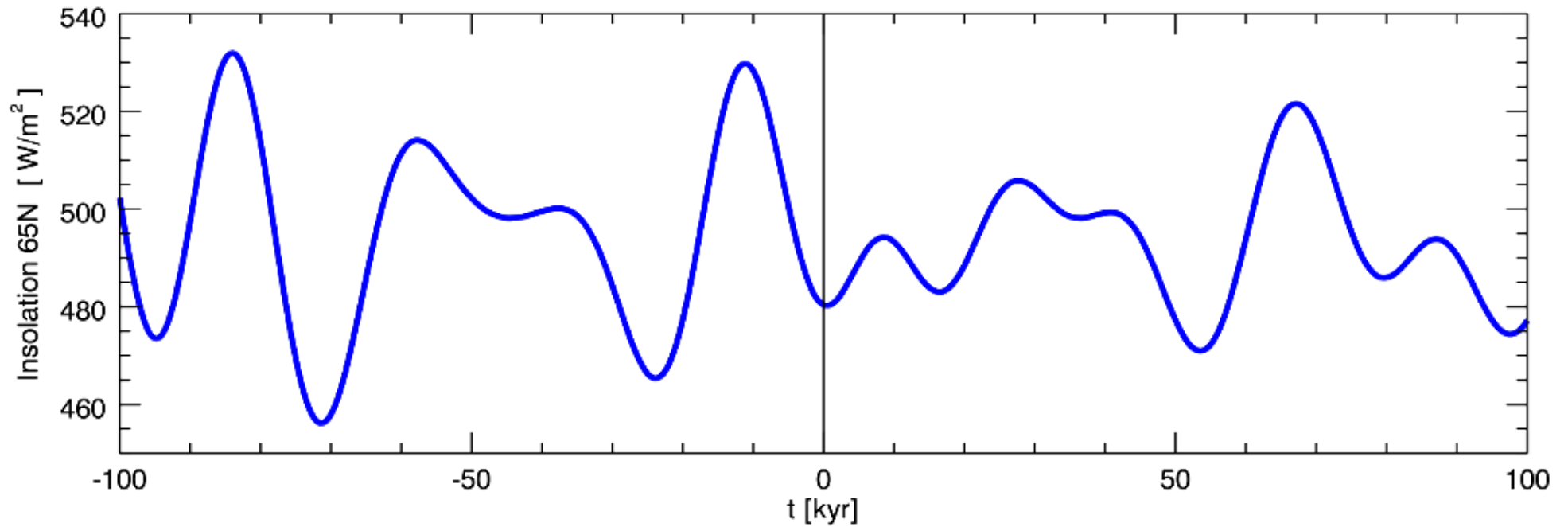


Vor ~ 12 000 Jahren war:

- *Exzentrizität größer*  
→ mehr Sonneneinstrahlung
- *Perihel im Nordsommer*  
→ wärmere Sommer im Norden
- *Achsenneigung größer*  
→ stärkerer jahreszeitlicher Kontrast



## Vorhersage für die kommende Jahrtausende:



- Während der nächsten ~10 000 Jahre: natürlicher Erwärmungstrend (<< anthropogener Treibhauseffekt)
  - Nächste deutliche Abkühlung in ~ 15 000 Jahren
  - Nächste Eiszeit in ~ 50 000 Jahren
-

### 3. Kepler Gesetz: Quadrate der Umlaufzeiten sind proportional zur 3. Potenz der großen Halbachsen

$$P^2 = \frac{4\pi^2}{GM} a^3$$

für Planetenbahnen um sonnenähnliche Sterne  
(d.h.  $M_* = M_\odot$ ) gilt also:

$$\left( \frac{P}{[\text{Jahre}]} \right)^2 = \left( \frac{a}{[\text{AU}]} \right)^3$$

Mittlere Bahngeschwindigkeit:

$$\langle u \rangle \simeq \frac{2\pi a}{P} = \frac{2\pi a}{\sqrt{4\pi^2 a^3 / GM}} = \sqrt{\frac{GM}{a}}$$

Messung von Bahnradius und Geschwindigkeit  
ergibt Masse des Zentralobjekts !

Merkur	48 km/sec
Venus	35 km/sec
Erde	30 km/sec
Mars	24 km/sec
Jupiter	13 km/sec
Saturn	9.7 km/sec
Uranus	6.8 km/sec
Neptun	5.4 km/sec

# Beobachtung von Doppelsternen

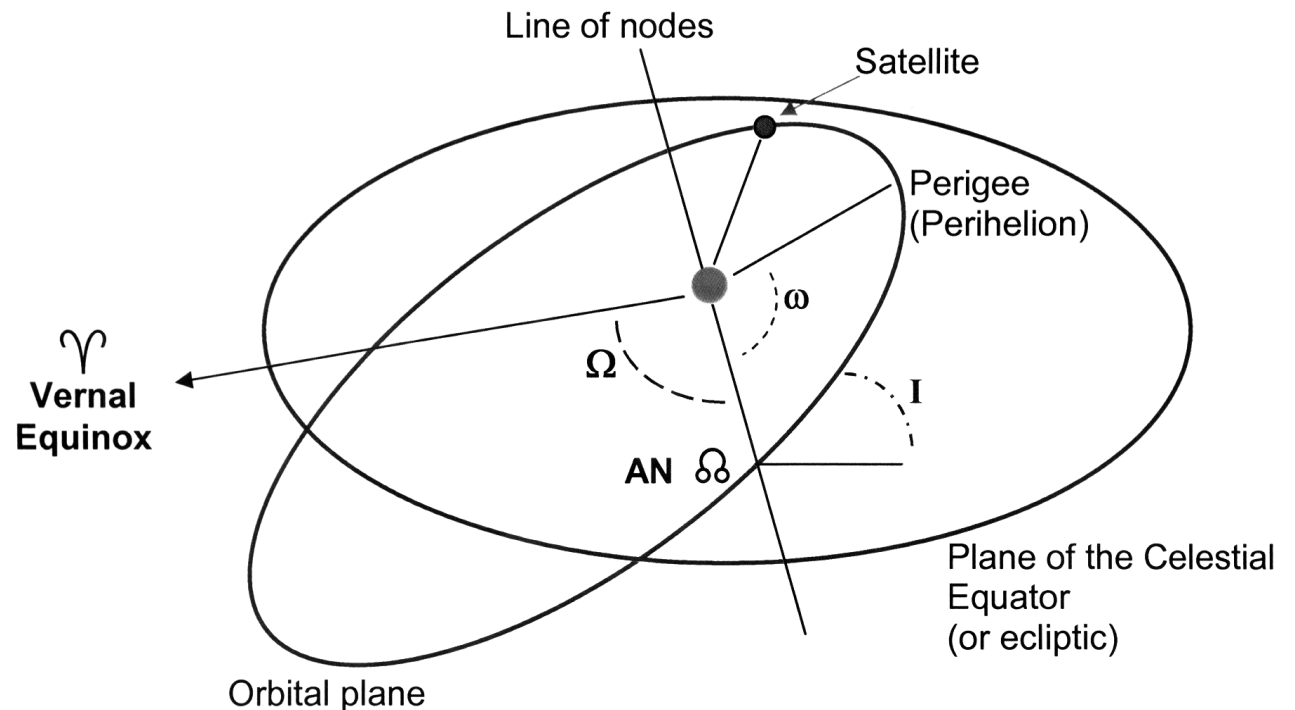
$$P^2 = \frac{4\pi}{G(m_1 + m_2)} a^3$$

$$\frac{m_1 + m_2}{M_{\text{Sonne}}} = \frac{(a[\text{AU}])^3}{(P[\text{Jahre}])^2}$$

kennt man außer  $a$  auch noch  $a_1$  und  $a_2 \rightarrow \frac{a_1}{a} = \frac{m_2}{m_1 + m_2} \quad \frac{a_2}{a} = \frac{m_1}{m_1 + m_2}$

Praktische Probleme:

- Weite = leicht trennbare Systeme haben lange Perioden ( $> 100$  Jahre)
- Systeme mit kurzen Perioden sind sehr eng = schwer trennbar
- Bahn-Inklination

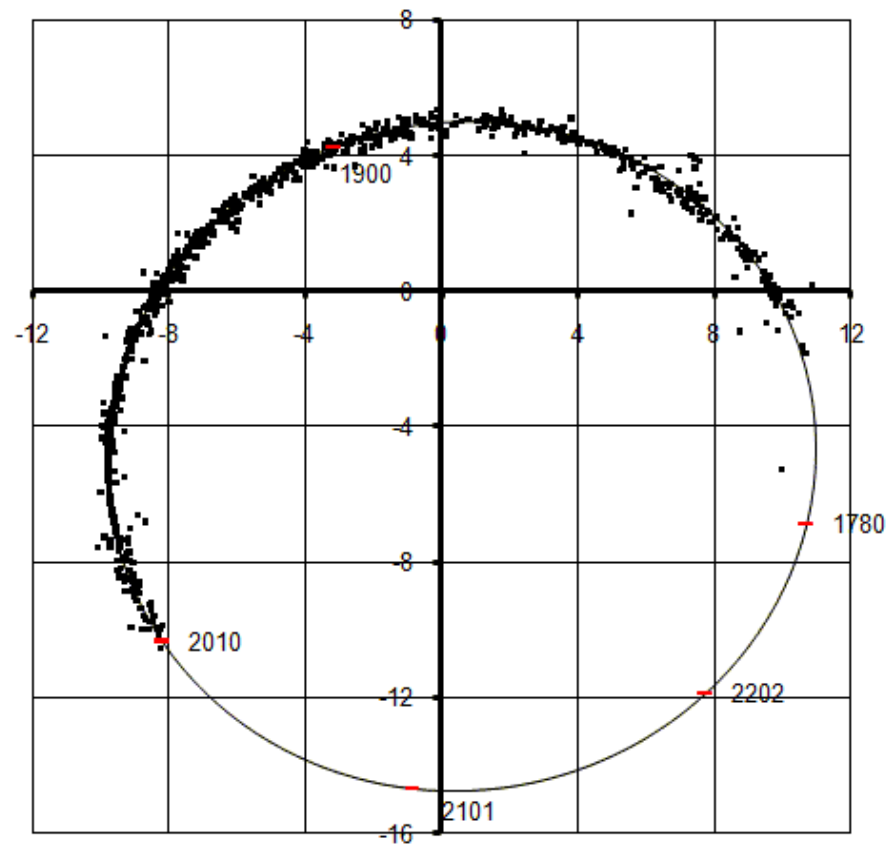


Beispiel:  
visueller Doppelstern  $\eta$  Cas

$$\rho = 12''$$



$P = 480 \text{ a}$   
 $a = 71 \text{ AU}$   
 $m_1 = 0.91 M_{\odot}$   
 $m_2 = 0.56 M_{\odot}$



VLT/ISAAC

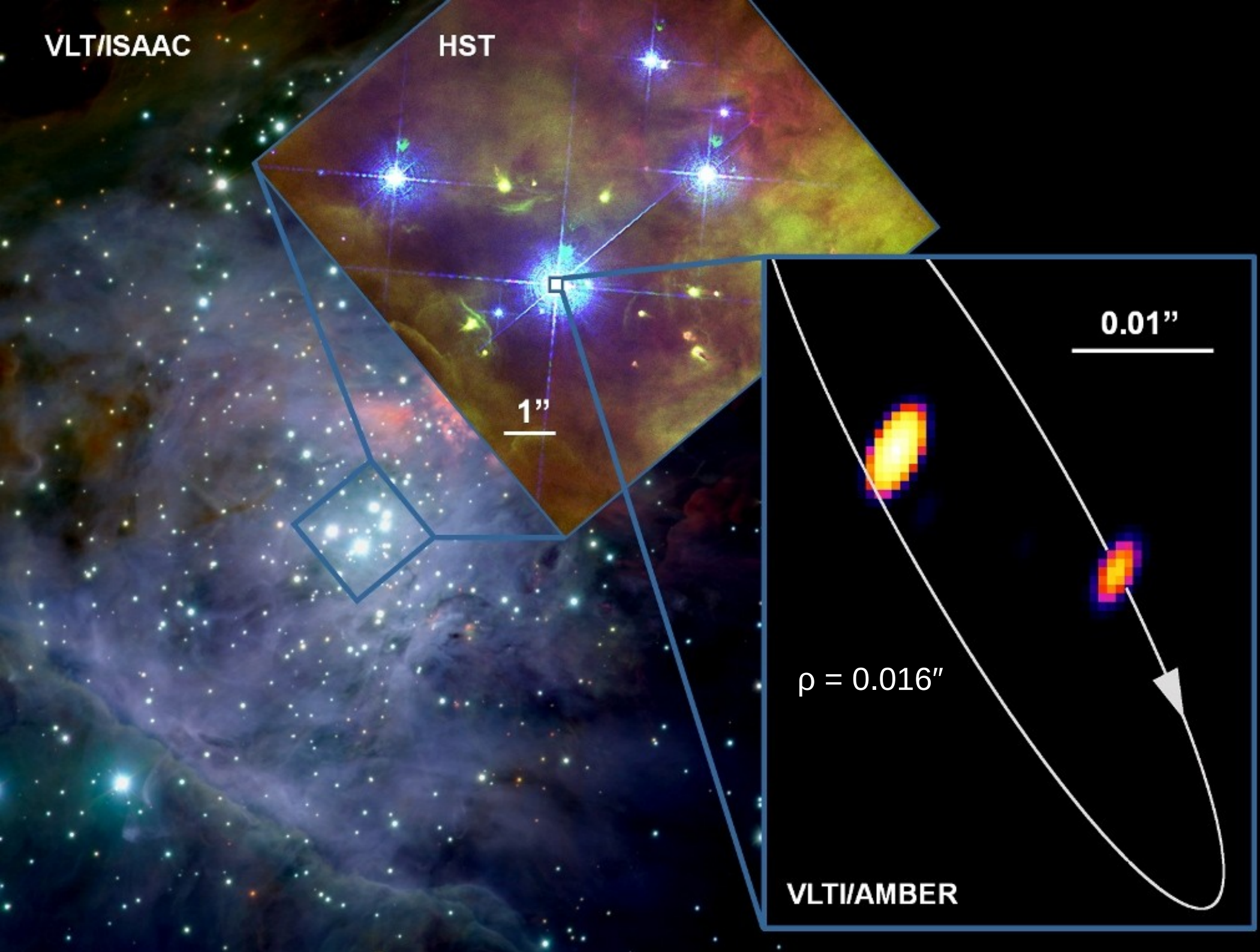
HST

1''

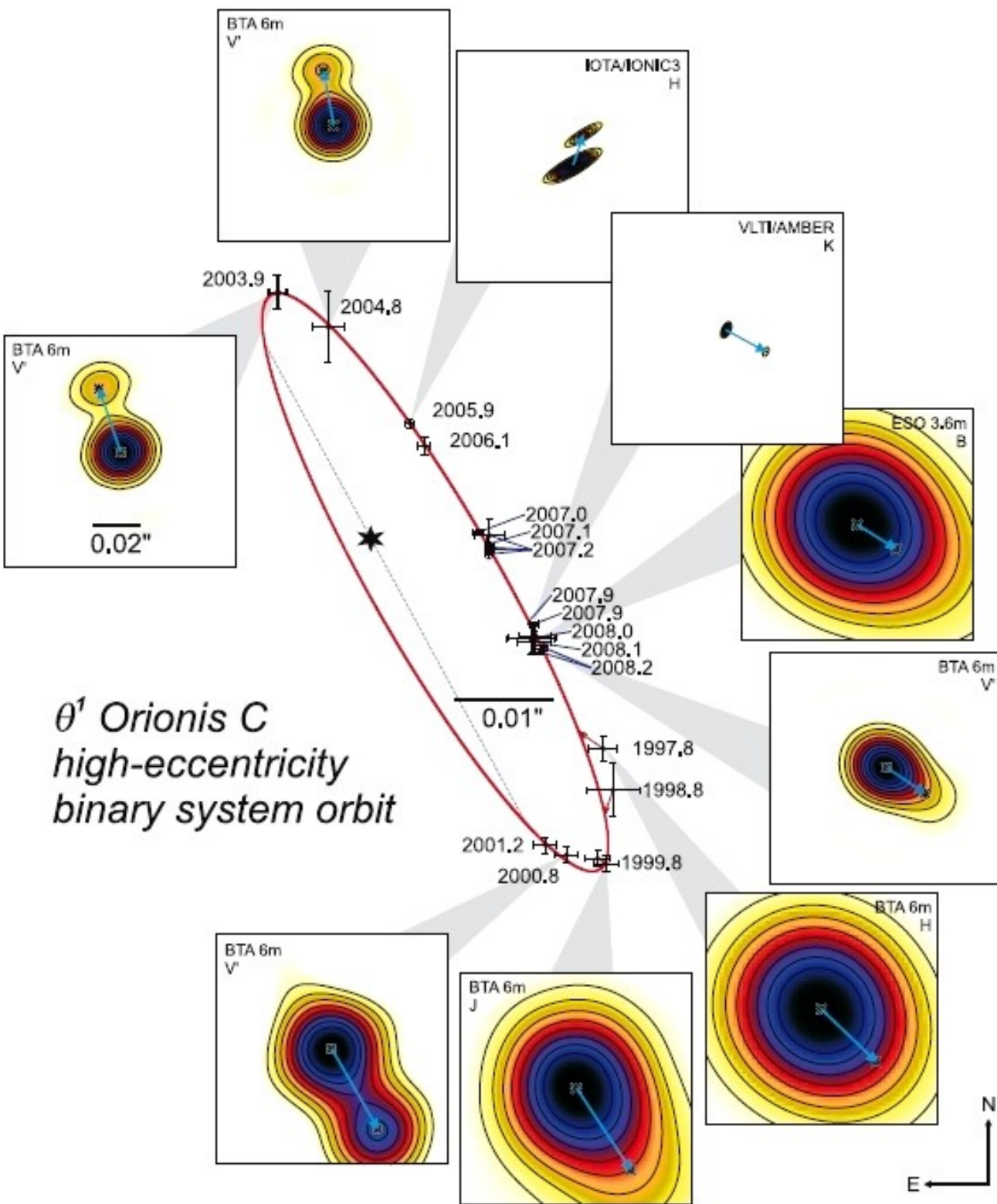
0.01''

$\rho = 0.016''$

VLT/AMBER







Orbit:

$$P = 11.26 \pm 0.5 \text{ yrs}$$

$$a = 43.6 \text{ mas} = 18 \text{ AU}$$

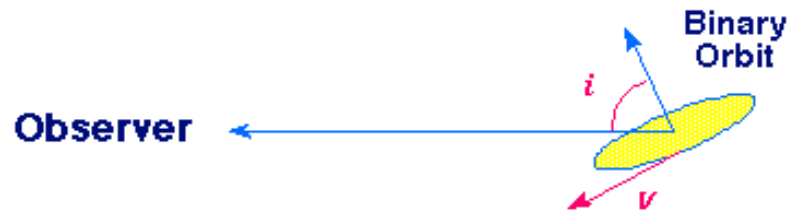
$$e = 0.592 \pm 0.07$$

$$M_1 = 39.5 M_{\odot}$$

$$M_2 = 7.5 M_{\odot}$$

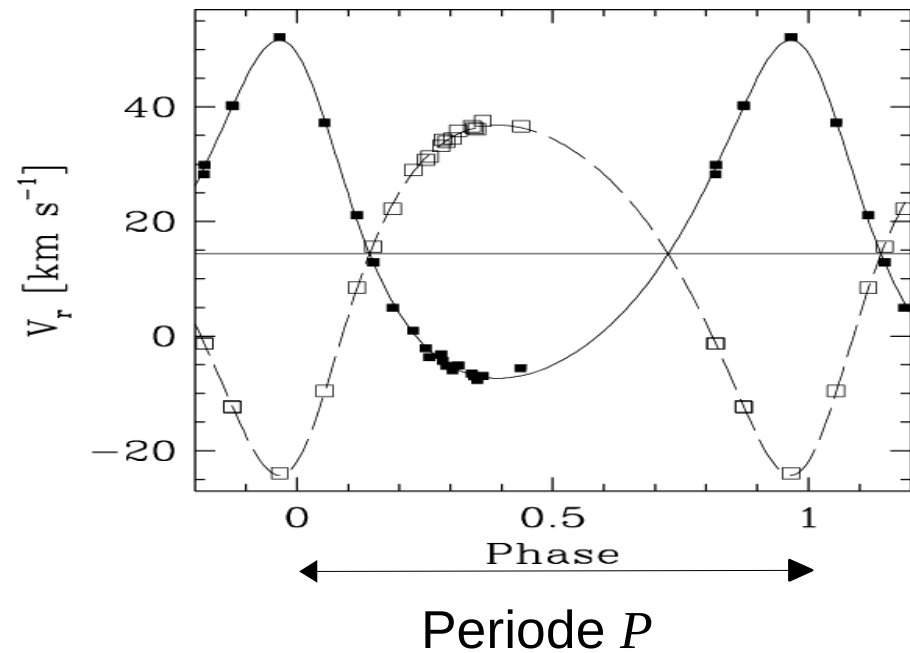
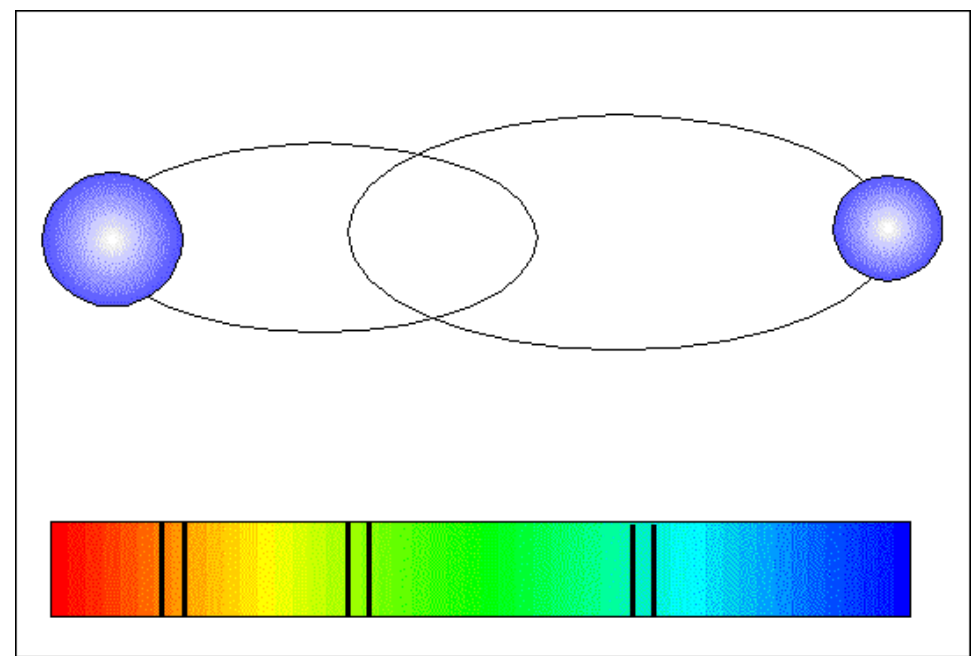
# Spektroskopische Doppelsterne

$$\text{für } e \ll 1 \rightarrow \frac{m_1}{m_2} = \frac{u_2}{u_1}$$



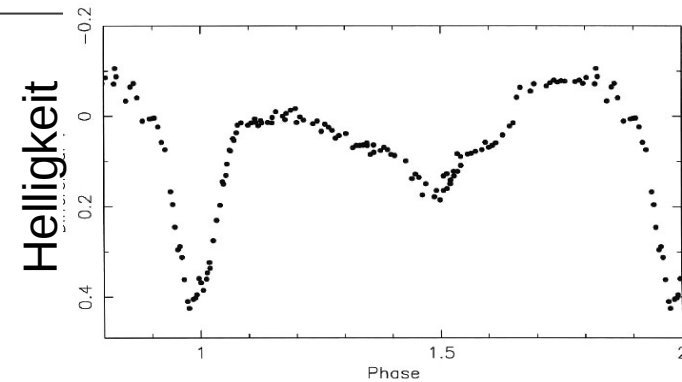
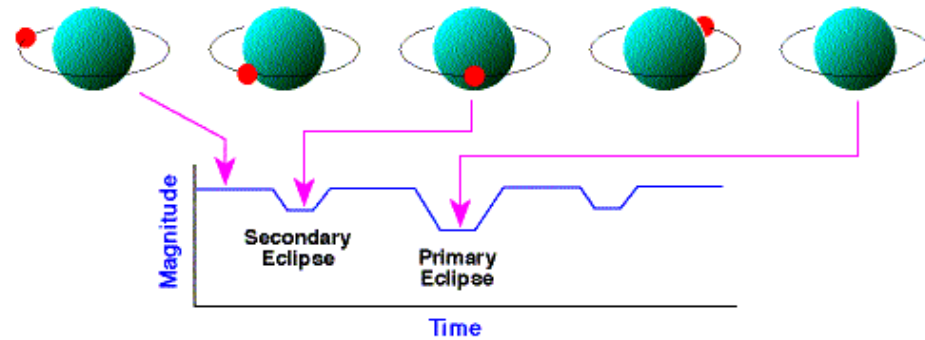
Inklination (Winkel zwischen Orbit-Achse und Sichtlinie)  $i$

Gemessen wird nicht  $u$  sondern  $u \sin i$



- Eclipsing Binaries

$$i \approx 90^\circ$$



- Kombination: Spektroskopie + Bildinformation

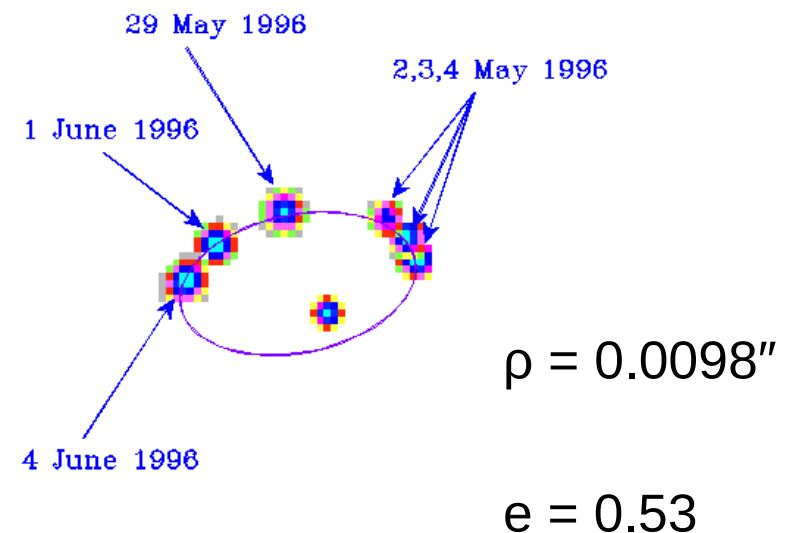
Mizar: Spektroskopische Doppelstern,  
zusätzlich durch interferometrische Bildgebung  
aufgelöst.

$$P = 20.5 \text{ Tage}$$

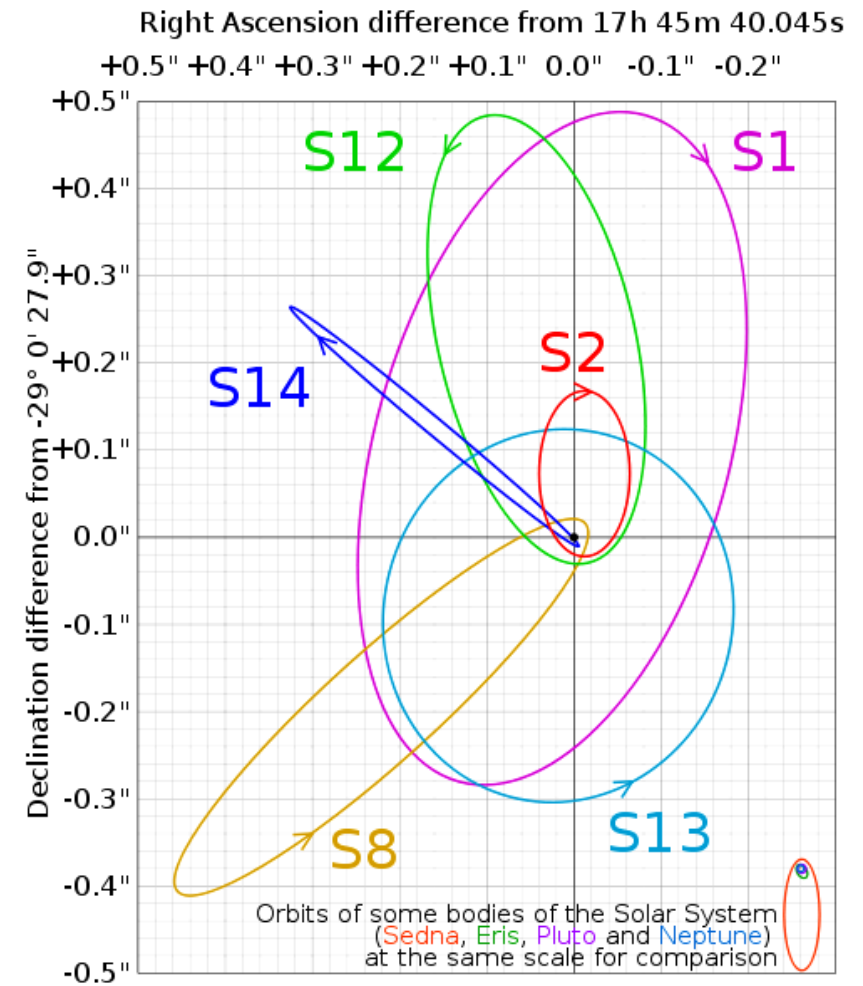
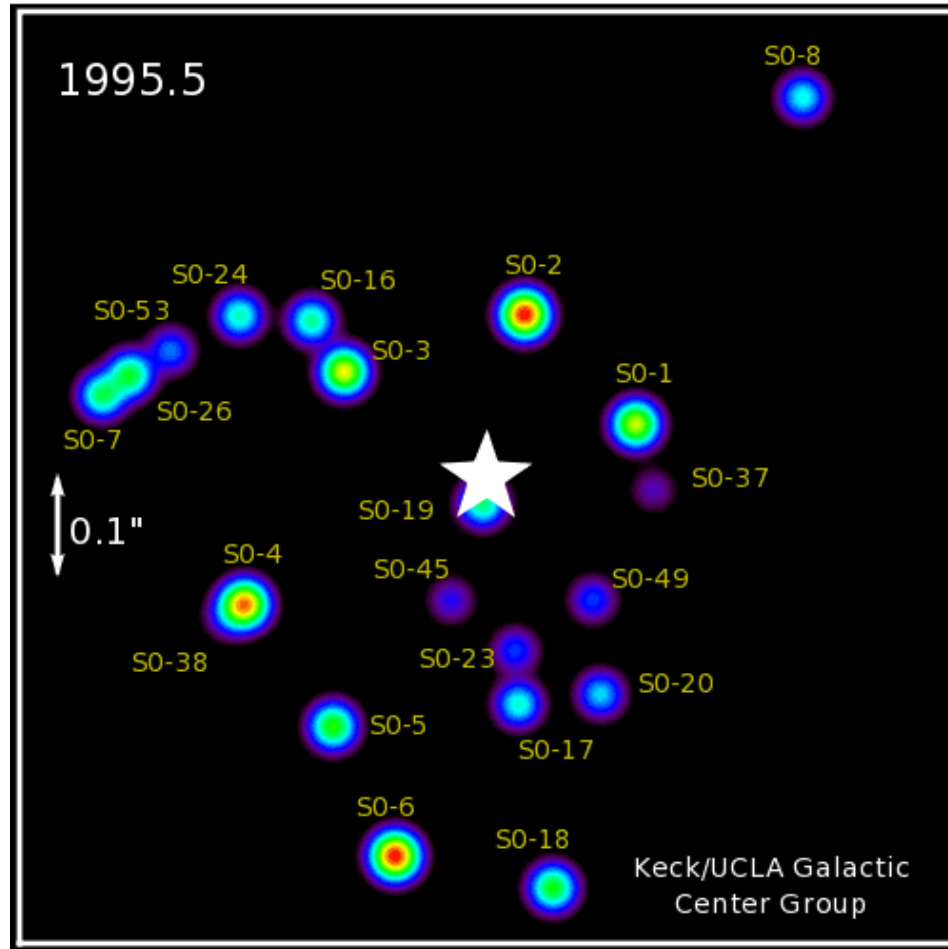
$$a = 0.25 \text{ AU}$$

$$m_1 = 2.50 M_\odot$$

$$m_2 = 2.43 M_\odot$$



# Das Objekt im Zentrum unserer Galaxis



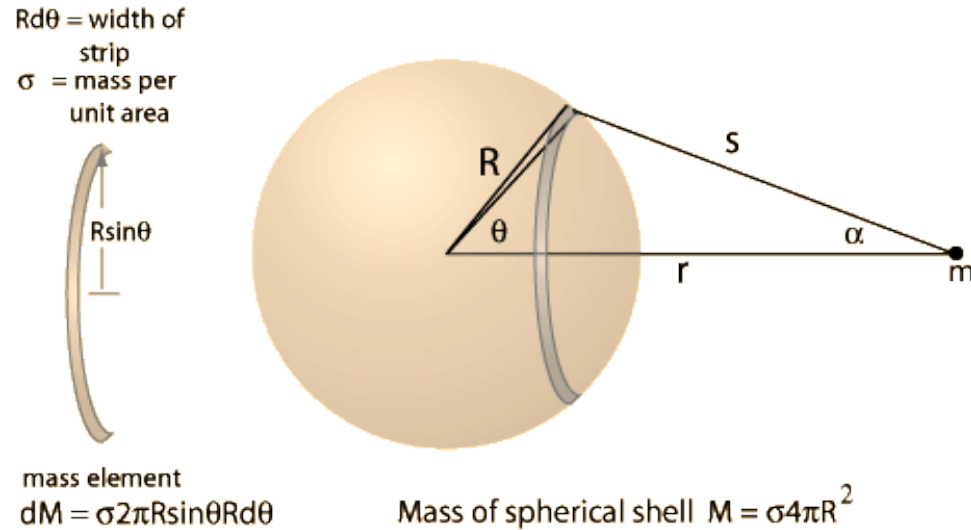
$$M \approx 4 \cdot 10^6 M_{\odot}$$

$$R < 122 \text{ AU}$$



Supermassives Schwarzes Loch

# Massenbestimmung für Sternhaufen und Galaxien



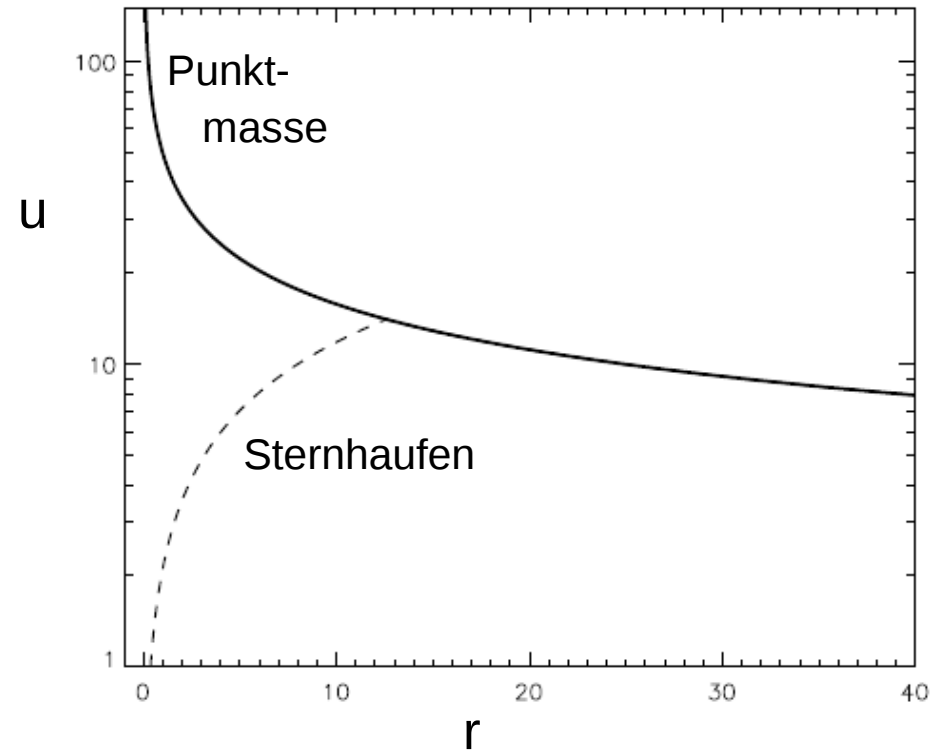
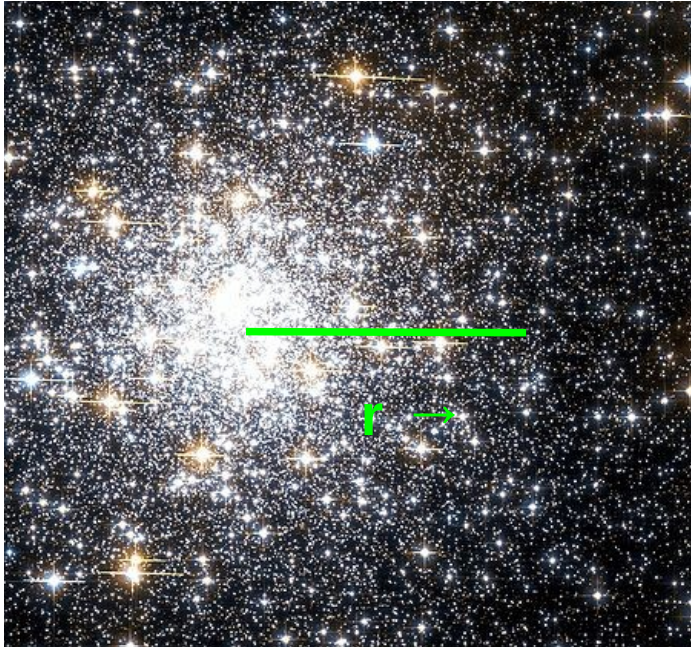
Gravitative Wirkung einer sphärischen Massenverteilung entspricht der einer Punktmasse im Zentrum.

$$\langle u \rangle \simeq \frac{2\pi a}{P} = \sqrt{\frac{GM}{a}}$$

—► Messung von Geschwindigkeit und Abstand eines die Massenverteilung umkreisenden Teilchens ergibt die eingeschlossene Masse.

# Rotationsprofil von Sternhaufen

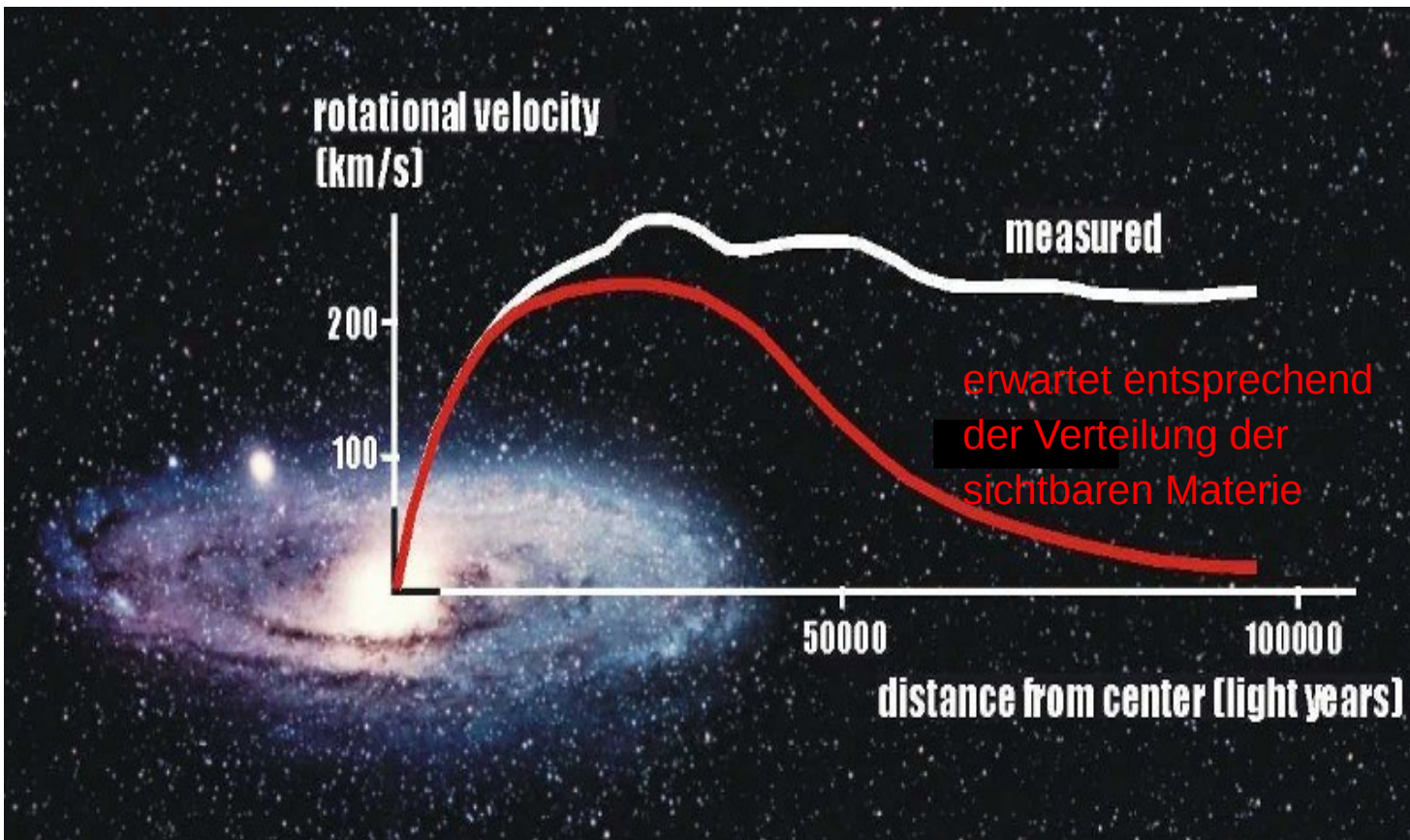
$$\langle u(r) \rangle \simeq \sqrt{\frac{G M(r)}{r}}$$



Modell:  $\rho(r) \propto r^{-1/2}$

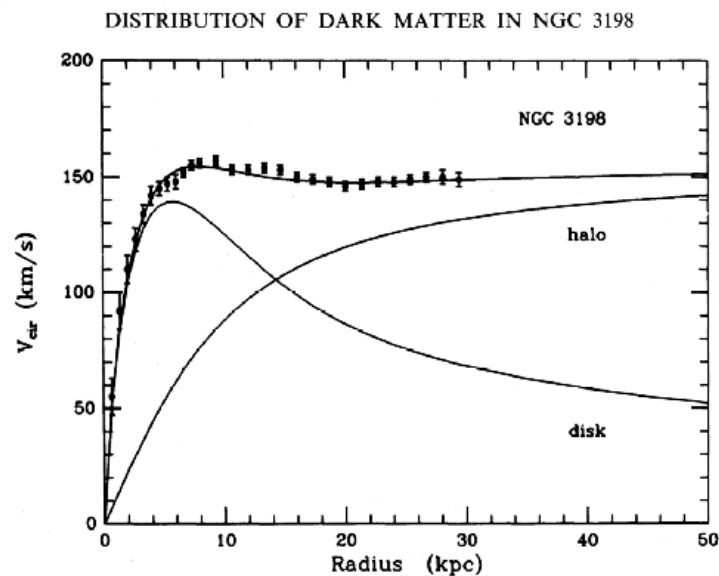


# Rotationsprofil von Galaxien



→ „Dunkle Materie“

Gesamtmasse von  
Galaxien ist  
~ 5–10 × größer als  
die sichtbare Materie



Dunkle Materie im Halo

Sichtbare Materie in der Scheibe

# Virialsatz

In einem abgeschlossenen physikalischen System aus gravitierenden Massepunkten gilt folgende Beziehung zwischen dem zeitlichen Mittelwert der kinetischen Energie  $E_{\text{kin}}$  und dem zeitlichen Mittelwert der potentiellen Energie  $E_{\text{pot}}$  :

$$E_{\text{kin}} = -\frac{1}{2} E_{\text{pot}} \quad \longleftrightarrow \quad 2 E_{\text{kin}} + E_{\text{pot}} = 0$$

Gesamtenergie:  $E_{\text{tot}} = E_{\text{kin}} + E_{\text{pot}} = \frac{1}{2} E_{\text{pot}}$  in gebundenen Systemen negativ !

$$E_{\text{kin}} = \sum_i \frac{1}{2} m_i \langle |\vec{u}_i|^2 \rangle \quad E_{\text{pot}} = -\frac{G M^2}{\alpha R} \quad M = \sum_i m_i$$

Anwendungen des Virialsatzes:

$$E_{\text{kin}} = -\frac{1}{2} E_{\text{pot}} \qquad E_{\text{tot}} = \frac{1}{2} E_{\text{pot}}$$

Anwendung 1: Planetenbahn, Planetenmasse  $m$ , Sternmasse  $M$

$$\begin{aligned} \langle u \rangle &\simeq \frac{2\pi a}{P} = \sqrt{\frac{GM}{a}} \\ \text{Kepler 3: } P^2 &= \frac{4\pi^2}{GM} a^3 \end{aligned}$$

↑

$$\begin{aligned} E_{\text{kin}} &= \frac{1}{2} m u^2 = \frac{1}{2} m \frac{GM}{a} \\ E_{\text{pot}} &= -\frac{GMm}{a} \end{aligned}$$
$$\rightarrow E_{\text{kin}} = -\frac{1}{2} E_{\text{pot}} \quad \checkmark$$

## Anwendung 2: Massenbestimmung von Sternhaufen

$$E_{\text{kin}} = \sum_i \frac{1}{2} m_i \langle |\vec{u}_i|^2 \rangle$$

Messgröße: Radialgeschwindigkeit *oder*  
Eigenbewegung

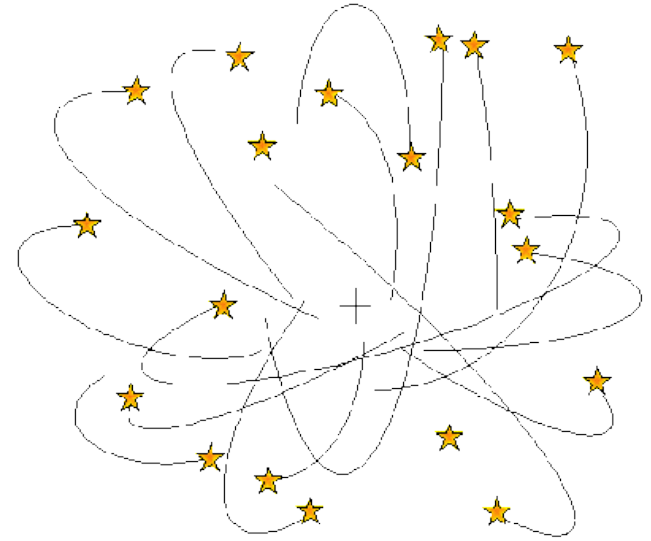
Geschwindigkeitskomponenten sind gleichverteilt:

$$\langle u_x^2 \rangle = \langle u_y^2 \rangle = \langle u_z^2 \rangle \qquad \langle |\vec{u}|^2 \rangle = 3 \langle u_{\text{rad}}^2 \rangle$$

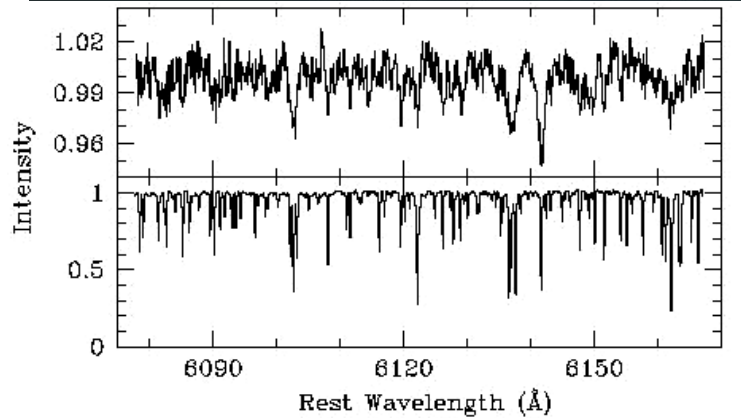
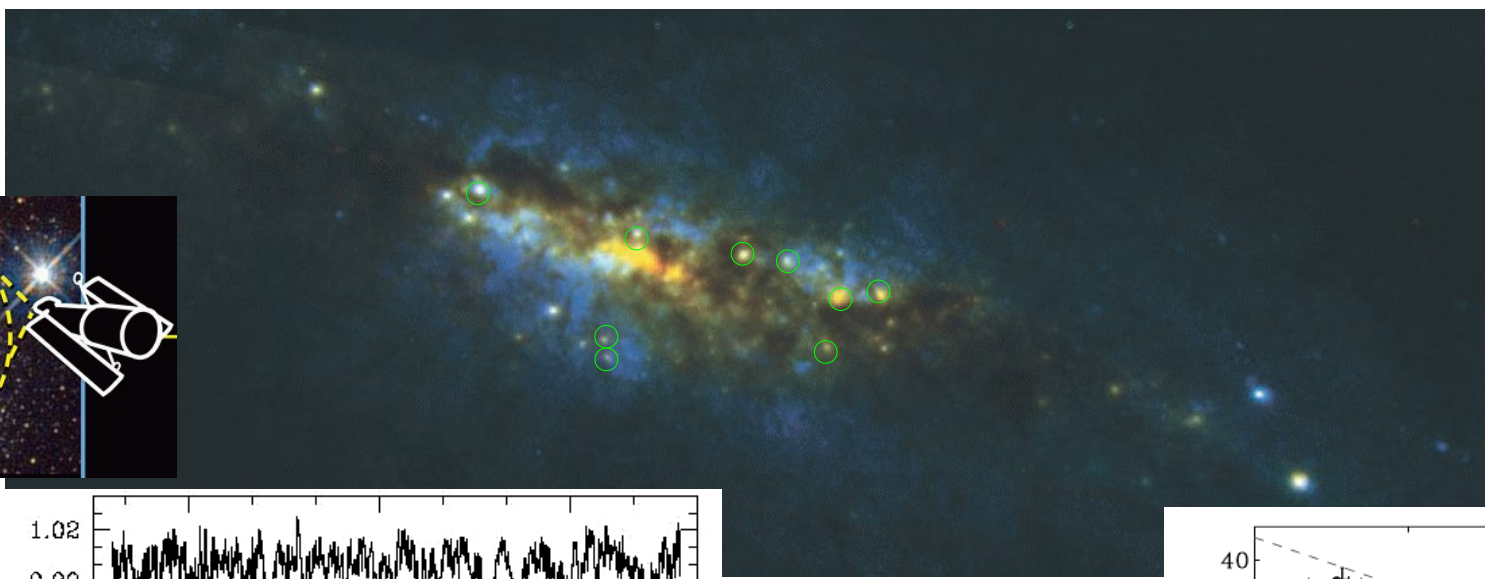
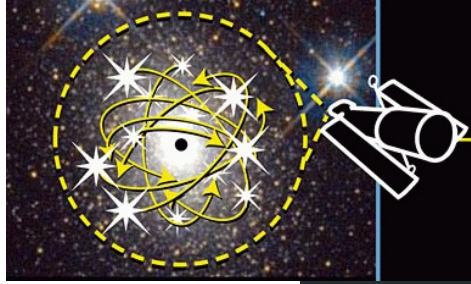
$$E_{\text{kin}} = \frac{3}{2} M \langle u_{\text{rad}}^2 \rangle \qquad E_{\text{pot}} = -\frac{G M^2}{\alpha R}$$

$$M = \frac{5R}{G} \langle u_{\text{rad}}^2 \rangle$$

Geschwindigkeits-  
dispersion



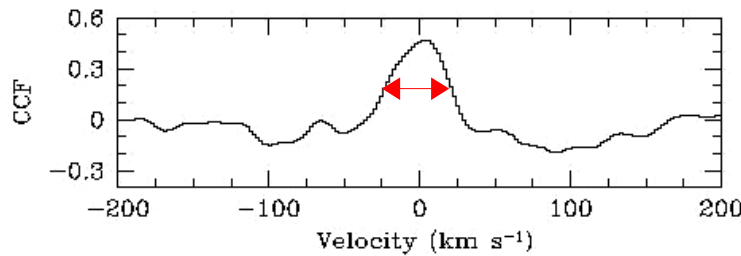
Gleichverteilung im Radius  $R$ :  
 $\alpha = 5/3$



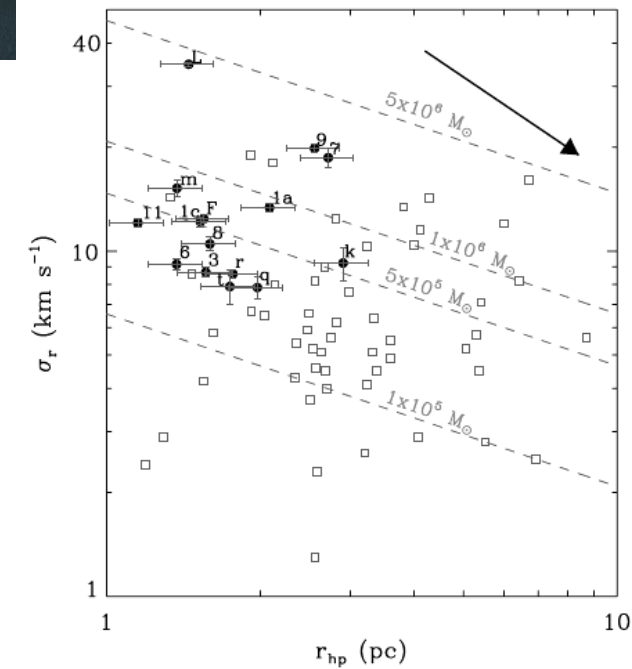
Sternhaufen

Referenzstern

$$\langle u_{\text{rad}}^2 \rangle$$



Kreuz-Korrelation



Über Virialsatz bestimmte Massen  
stimmen gut mit Massenabschätzung  
aus dem sichtbaren Spektrum überein.

$$M = \frac{5R}{G} \langle u_{\text{rad}}^2 \rangle$$



### Anwendung 3: Massenbestimmung von Galaxienhaufen

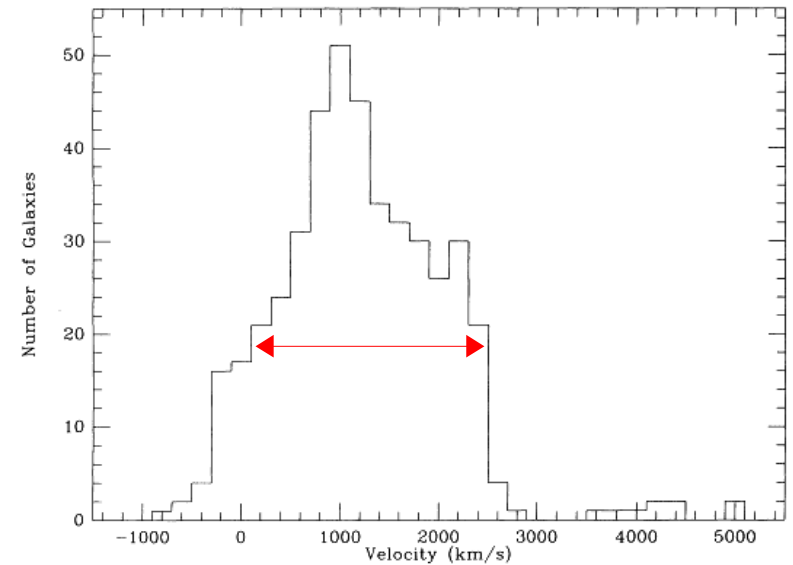


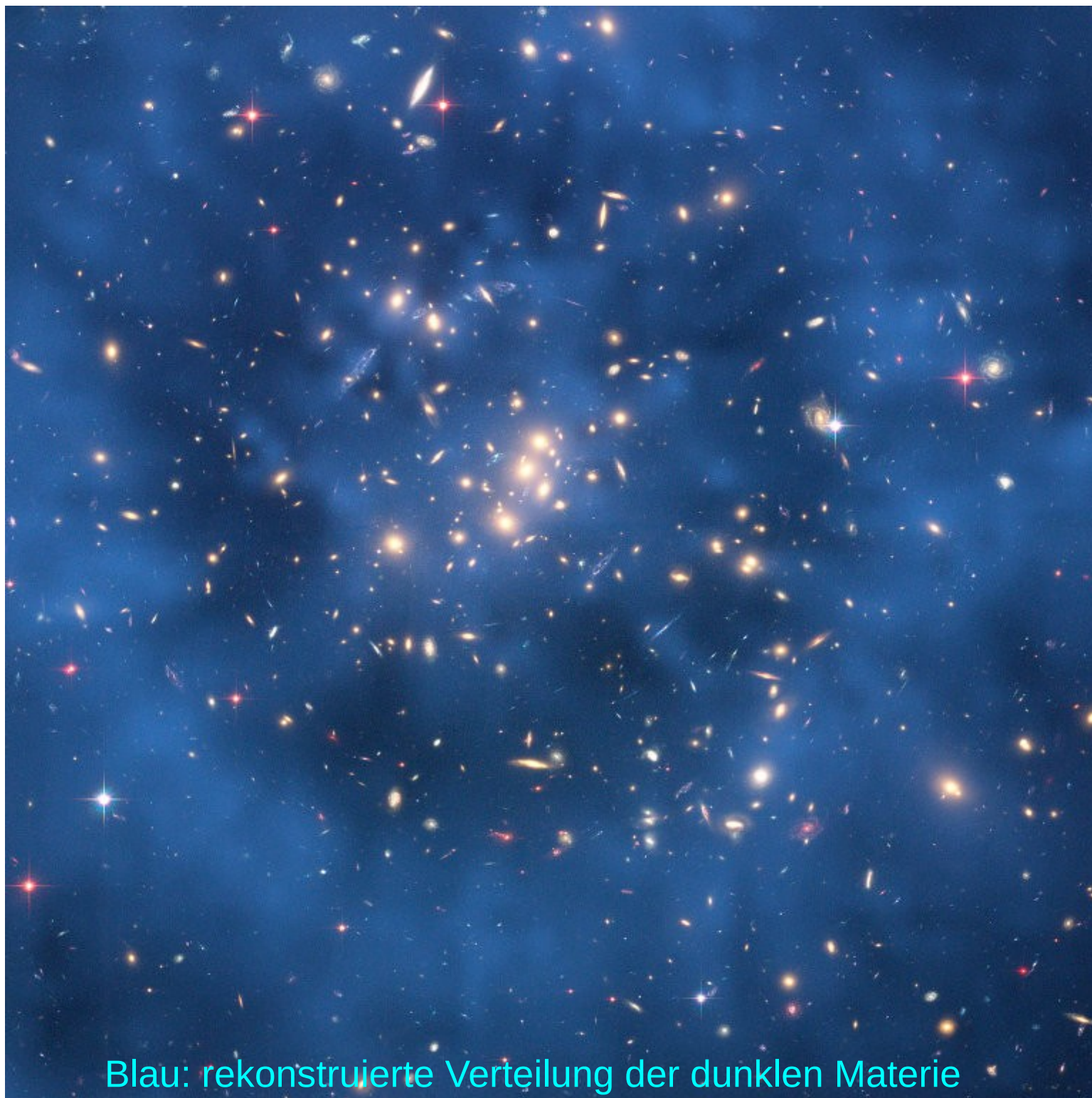
FIG. 1.—Velocity histogram for the Virgo Cluster. Notice the obvious background group at  $\sim 4000 \text{ km s}^{-1}$ .

$$\sigma(v_r) \sim 750 \text{ km/sec}$$

Virial Masse  $> 10 \times$  sichtbare Masse

→ ***Dunkle Materie***





## Elementary Particles

Quarks	$u$ up	$c$ charm	$t$ top	$\gamma$ photon
	$d$ down	$s$ strange	$b$ bottom	
Leptons	$\nu_e$ electron neutrino	$\nu_\mu$ muon neutrino	$\nu_\tau$ tau neutrino	$Z$ Z boson
	$e$ electron	$\mu$ muon	$\tau$ tau	
<div>I      II      III</div>				
Three Families of Matter				

+ WIMPS (?)  
**W**eakly **I**nteracting  
**M**assive **P**articles

Blau: rekonstruierte Verteilung der dunklen Materie